
**МАТЕМАТИЧЕСКАЯ
ФИЗИКА**

УДК 533.95

**СТАЦИОНАРНЫЕ И ОСЦИЛЛИРУЮЩИЕ РЕШЕНИЯ
УРАВНЕНИЙ ИОНИЗАЦИИ¹⁾**

© 2022 г. М. Б. Гавриков^{1,*}, А. А. Таюрский^{1,2,**}

¹ 125047 Москва, Миусская пл., 4, ИПМ им. М.В. Келдыша РАН, Россия

² 105005 Москва, ул. 2-я Бауманская, 5, стр. 1, МГТУ им. Н.Э. Баумана, Россия

*e-mail: mbgavrikov@yandex.ru

**e-mail: tayurskiy2001@mail.ru

Поступила в редакцию 13.01.2022 г.

Переработанный вариант 13.01.2022 г.

Принята к публикации 11.03.2022 г.

В работе решен ряд математических задач теории ионизации применительно к процессам в стационарных плазменных двигателях. Рассмотрены две основные математические модели ионизации – гидродинамическая и кинетическая. В центре внимания находится вопрос о существовании ионизационных колебаний (бривинг-мод). На базе одномерной гидродинамической модели решена краевая задача для стационарных уравнений ионизации. Доказаны ее однозначная разрешимость и отсутствие бривинг-мод в случае знакоопределенных скоростей атомов и ионов. В практически важном случае, когда в области течения ионная скорость имеет единственный нуль с положительной производной, доказано, что стационарная краевая задача имеет счетное число решений, и сформулировано необходимое и достаточное условие существования бривинг-мод. Предложен численный алгоритм исследования бривинг-мод. Дано аналитическое решение уравнений ионизации в случае постоянных скоростей атомов и ионов, а полученные формулы применены к аналитическому решению задачи Коши, краевой и смешанной задач в простейших областях. В случае одномерной кинетической модели ионизации численно показано существование бривинг-мод и проведен краткий анализ полученных результатов. Библ. 18. Фиг. 5.

Ключевые слова: ионизационные колебания, бривинг-моды, характеристики.

DOI: 10.31857/S0044466922070043

1. ВВЕДЕНИЕ

Ниже рассматриваются математические задачи, связанные с ионизацией плазмы, применительно к процессам, происходящим в стационарных плазменных двигателях (СПД). СПД были предложены А.И. Морозовым и с 1971 г. успешно и безальтернативно используются для коррекции орбит космических летательных аппаратов. История вопроса изложена в [1]–[4].

Экспериментально фиксируется принципиально важный эффект низкочастотных (10–30 кГц) колебаний разрядного тока в камере СПД. С практической точки зрения этот эффект носит паразитический характер, а механизм указанных осцилляций неясен, но вероятной причиной, предположительно, являются возможные колебания концентраций атомов (n_a) и ионов ксенона (n_i) в СПД при ионизации. С другой стороны, особый интерес представляют стационарные течения плазмы в СПД. Целью работы являются, во-первых, нахождение стационарных решений нелинейных уравнений одномерной ионизации и, во-вторых, анализ причин появления периодических колебаний концентраций n_i , n_a , подчиняющихся системе

$$\partial n_a / \partial t + \partial(n_a v_a) / \partial z = -\beta n_a n_i, \quad \partial n_i / \partial t + \partial(n_i v_i) / \partial z = \beta n_a n_i, \quad 0 \leq z \leq L, \quad t \geq 0, \quad (1)$$

при определенных начальных и граничных условиях для n_a , n_i (см. ниже). Здесь $v_a(z)$, $v_i(z)$ – известные продольные скорости атомов и ионов Хе, $\beta = \text{const} > 0$ – заданная величина (коэффициент ионизации), L – длина установки СПД. Удивительным и требующим математического

¹⁾ Работа выполнена при поддержке Московского центра фундаментальной и прикладной математики, Соглашение с Минобрнауки РФ № 075-15-2019-1623.

объяснения является факт существования периодических по времени колебаний концентраций n_i и n_a , получаемых при решении системы (1) для непериодических входных данных — функций $v_a(z)$, $v_i(z)$ и начальных и граничных условий для n_i и n_a . Доминирующее на сегодняшний день в научной литературе объяснение этого феномена основано на модели “хищник—жертва” Лотки—Вольтерра [5], [6], которая описывает динамику численности популяций жертв (N_1) и хищников (N_2), питающихся жертвами, посредством пары обыкновенных дифференциальных уравнений (ОДУ):

$$dN_1/dt = -\gamma_1 N_1 N_2 + \mu_1 N_1, \quad dN_2/dt = \gamma_2 N_1 N_2 - \mu_2 N_2, \quad \gamma_1, \gamma_2, \mu_1, \mu_2 > 0. \quad (2)$$

В случае ионизации плазмы “жертвами” считаются атомы ксенона, а “хищниками” — электроны, которые в силу условия квазинейтральности плазмы отождествляются с ионами, причем $\gamma_1 = \gamma_2 = \beta > 0$ — коэффициент ионизации, а регенеративные члены $\mu_1 N_1$, $\mu_2 N_2$ обусловлены переносом атомов и ионов. При этом под N_1 и N_2 понимаются средние по отрезку $[0, L]$ концентрации атомов и ионов ксенона соответственно: $N_1 = \langle n_a \rangle$, $N_2 = \langle n_i \rangle$, где $\langle f \rangle = L^{-1} \int_0^L f(z) dz$ для любой интегрируемой на $[0, L]$ функции f . Впервые на феноменологическом уровне модель (2) использовалась для объяснения временных колебаний концентраций n_a и n_i в [7], [8]. В частности, в работе [8] считалось $\mu_1 = V_a/L$, $\mu_2 = V_i/L$, где V_a, V_i — известные, не зависящие от времени скорости атомов на входе в СПД и ионов на выходе. Решениями уравнений Лотки—Вольтерра (2) являются [6] периодические кривые (циклы) на плоскости (N_1, N_2) , расположенные в первом квадранте $N_1 > 0$, $N_2 > 0$ и стягивающиеся к единственной особой точке этой системы $N_1^0 = \mu_2/\gamma_2$, $N_2^0 = \mu_1/\gamma_1$. Предельное значение ω_∞ частот циклов при их стягивании к особой точке этой системы (2) проще всего получить решением линеаризованных в окрестности особой точки (N_1^0, N_2^0) уравнений системы (2). Оказывается, предельная частота $\omega_\infty = (\mu_1 \mu_2)^{1/2}$ не зависит от γ_1, γ_2 и для предположений работы [8] дает значение $\omega_\infty = (V_1 V_2)^{1/2}/L$, что примерно совпадает с экспериментально получаемой частотой колебаний разрядного тока в СПД. Этот факт совпадения экспериментальной частоты с частотой, вычисляемой по феноменологической модели (2), имеющий, не исключено, случайный характер, лежит в методологической основе и является оправданием применения модели Лотки—Вольтерра к анализу ионизационных колебаний плазмы в СПД. Дальнейшее развитие модели “хищник—жертва” применительно к процессам в СПД содержится в [9], [10]. Так, в [10] для анализа процесса ионизации предложена двухзонная модель “хищник—жертва”, в которой количество уравнений системы (2) увеличивается вдвое. В работе [11] ионизационные колебания концентраций n_i , n_a впервые были названы “бривинг”-модами (breathing mode). Основная проблема при использовании модели Лотки—Вольтерра для анализа ионизационных колебаний плазмы в СПД сводится к нахождению математически корректного вывода феноменологических уравнений (2) из законов сохранения (1), что до сих пор никем не было сделано. В работе [12] редукция (1) \Rightarrow (2) получалась осреднением уравнений (1) по отрезку $[0, L]$ в каждый момент времени, однако при этом использовались неочевидные допущения: $\langle n_i n_a \rangle = \langle n_i \rangle \langle n_a \rangle$, $\langle n_a \rangle = n_a(t, 0)$, $\langle n_i \rangle = n_i(t, L)$, $n_a(t, L) \equiv 0$, $n_i(t, 0) \equiv 0$.

Проведенное ниже исследование показывает, что существование ионизационных колебаний (бривинг-мод) в СПД обусловлено фундаментальными математическими свойствами системы (1) и скорее всего никак не связано с феноменологической моделью Лотки—Вольтерра.

Как показывают численные расчеты, в случае знакоопределенных скоростей $v_a(z)$, $v_i(z)$ решение начально-краевой задачи для системы (1) со стационарными граничными условиями при $t \rightarrow +\infty$ выходит на установление, стремясь, как и следовало ожидать, к стационарному состоянию, определяемому системой (1). Как следствие, в этом случае бривинг-моды отсутствуют. Стационарные решения системы (1) играют особую роль, поскольку они определяют установившиеся режимы работы СПД. В разд. 2 проведено интегрирование в квадратурах стационарных уравнений (1). Показано, что краевая задача для стационарной системы (1) в случае знакоопределенных скоростей $v_a(z)$, $v_i(z)$ всегда имеет, и притом единственное, решение. В случае знакопеременных скоростей ситуация кардинально меняется. Ограничиваясь физически важным случаем $v_a(z) > 0$, $z \in [0, L]$ (чаще всего считается $v_a(z) \equiv v_a > 0$), установлено, что краевая задача для стационарной системы (1) имеет счетное число решений, если $v_i(z)$ принадлежит классу знако-

переменных функций, имеющих единственный нуль $z_0 \in (0, L)$, для которого $v_i'(z_0) > 0$. Скорость $v_i(z)$ из указанного класса функций особенно актуальна для анализа процессов в СПД. Экспериментально [13] показано, что в камере СПД всегда возникает двумерная прианодная зона, в которой продольная ионная скорость отрицательна, а вне этой зоны — положительна. Применительно к одномерной модели приходим к скорости $v_i(z)$ указанного выше типа. В частности, для таких скоростей $v_i(z)$, как показывают расчеты, могут существовать бривинг-моды. Более того, стационарные решения для скоростей $v_i(z)$, не входящих в указанный выше класс, отсутствуют.

В разд. 3 в случае $v_a = \text{const}$, $v_i = \text{const}$ нелинейная система (1) решается аналитически. Полученные интегральные аналитические выражения для неизвестных n_a , n_i позволяют решить аналитически задачу Коши в полуплоскости $t \geq 0$ и простейшие краевые (в полуплоскости $z \geq 0$) и смешанные (в первом квадранте $t \geq 0$, $z \geq 0$) задачи для этой системы. Методы, развитые в этом разделе, позволяют решать и другие начально-краевые задачи для системы (1) в случае постоянных скоростей v_a , v_i . Из выведенных в разд. 3 формул для решения системы (1), в частности, следует отсутствие бривинг-мод в случае $v_a = \text{const}$, $v_i = \text{const}$.

В разд. 4 для случая $v_a = \text{const} > 0$ и знакопеременных скоростей $v_i(z)$, имеющих единственный нуль $z_0 \in (0, L)$, для которого $v_i'(z_0) > 0$, обсуждается причина возникновения ионизационных колебаний (бривинг-мод) при решении системы (1). В этом случае прямая $z = z_0$ является характеристикой системы (1), а необходимое и достаточное условие существования бривинг-мод состоит в периодичности значений функций n_i , n_a на указанной характеристике, $n_i(t) = n_i(t, z_0)$, $n_a(t) = n_a(t, z_0)$ при $t \rightarrow +\infty$. В разд. 4 выведено ОДУ, которому удовлетворяет функция $n_i(t)$, совпадающее с условием разрешимости [14] для квазилинейных систем уравнений в частных производных, и указана процедура нахождения функции $n_a(t)$. Оказывается, значения n_i , n_a на характеристике $z = z_0$ подчиняются системе ОДУ более сложной, чем уравнение Лотки–Вольтерра. Сами функции $n_i(t)$, $n_a(t)$ находятся численным решением уравнений ионизации (1) посредством предложенной в работе разностной схемы. Аналитическое исследование существования и свойств функций $n_i(t)$, $n_a(t)$ выходит за рамки настоящей работы.

Недостаток модели ионизации (1) в том, что скорость ионов v_i стационарная и задается, а не ищется из уравнения движения ионов. Поэтому справедливость выводов, которые делаются на основе анализа решений системы (1) (в том числе о наличии ионизационных колебаний), в значительной степени зависит от того, насколько правильно выбрана скорость v_i . Скорость ионов, определяемая из уравнения движения ионов, вообще говоря, зависит от времени, $v_i = v_i(t, z)$, что не учитывается в системе (1). Поэтому в разд. 5 существование ионизационных колебаний устанавливается на базе численного исследования посредством метода макрочастиц значительно более точной модели ионизации, состоящей из кинетического уравнения для ионов,двигающихся в заданном постоянном и однородном электромагнитном поле в СПД, и уравнения переноса атомов ксенона с учетом ионизации. При этом индукционные электромагнитные поля, порождаемые плазменными токами в СПД, и рассеяние электронов и ионов на боковых стенках камеры считаются пренебрежимо малыми.

2. СТАЦИОНАРНЫЕ РЕШЕНИЯ УРАВНЕНИЙ ИОНИЗАЦИИ

Ниже ограничимся исключительно важным случаем $v_a(z) > 0$ и даже еще более жестким ограничением $v_a = \text{const} > 0$.

В случае $\partial/\partial t = 0$ система уравнений ионизации принимает вид:

$$d(n_a v_a)/dz = -\beta n_i n_a, \quad d(n_i v_i)/dz = \beta n_i n_a, \quad z \geq 0. \quad (3)$$

Складывая почленно уравнения (3), приходим к первому интегралу системы (3):

$$n_a v_a + n_i v_i \equiv C = \text{const}. \quad (4)$$

Из (4) следует $n_a v_a = C - u$, $u \stackrel{\text{def}}{=} u_i v_i$. Подставляя эти выражения во второе уравнение (3), получаем для нахождения $u(z)$ ОДУ первого порядка с разделяющимися переменными

$$du/dz = (C - u)\beta v_i^{-1}(z)v_a^{-1}(z). \tag{5}$$

Откуда имеем

$$\int \frac{du}{(C - u)u} = \int \frac{\beta dz}{v_i(z)v_a(z)} \xrightarrow{C \neq 0} \frac{1}{C} \ln \left| \frac{u}{C - u} \right| = \int \frac{\beta dz}{v_i(z)v_a(z)}. \tag{6}$$

Если $C = 0$, то верно

$$u = \left(\int \beta v_i^{-1}(z)v_a^{-1}(z) dz \right)^{-1}. \tag{7}$$

Уравнение (5) имеет также два особых решения $u \equiv C$, $u \equiv 0$. Первое не имеет физического смысла, второе дает $n_i \equiv 0$, $n_a = C/v_a(z)$ и соответствует случаю, когда ионизация отсутствует. Анализ формул (6) и (7) зависит от количества и расположения нулей $v_i(z)$, которые входят в знаменатель подинтегрального выражения в (6) и (7).

Допустим на $[0, L]$ скорости $v_a(z)$, $v_i(z)$ знакопостоянные. Тогда из (6) следует

$$\begin{aligned} u(z) &= CDe^{F(z)}[1 + De^{F(z)}]^{-1}, & n_i(z) &= CDe^{F(z)}v_i^{-1}(z)[1 + De^{F(z)}]^{-1}, \\ n_a(z) &= Cv_a^{-1}[1 + De^{F(z)}]^{-1}, & F(z) &= C\beta \int_0^z v_i^{-1}(z)v_a^{-1}(z) dz, \end{aligned} \tag{8}$$

где $C \neq 0$, D – произвольные константы. Из $n_a(z) \geq 0$ и $v_a(z) > 0$ следует $C(1 + D \exp F(z)) > 0$, и, значит, знак D совпадает со знаком $v_i(z)$. Константы C и D в формуле (8) ищутся из граничных условий для n_a , n_i . Если $v_i(z) > 0$, то на левой границе $z = 0$ задаются $n_a(0) = n_{a0} > 0$, $n_i(z) = n_{i0} > 0$. Если $v_i(z) < 0$, то на левой границе задается $n_a(0) = n_{a0} > 0$, а на правой границе $z = L$ задается $n_i(L) = n_{iL} > 0$.

Если $v_i(z) > 0$ на $[0, L]$, то из (4) следует $C > 0$ и для неособого решения $D > 0$. Из (4) следует $C = n_{a0}v_a(0) + n_{i0}v_i(0)$, тогда из (8) выводим

$$D = C/(n_{a0}v_a(0)) - 1 = (n_{i0}/n_{a0})(v_i(0)/v_a(0)).$$

Итак, константы C и D в (8) однозначно определяются по граничным условиям, а краевая задача для системы (3) имеет, и притом единственное, решение.

Если $v_i(z) < 0$ на $[0, L]$, то исследование разрешимости краевой задачи для системы (3) более громоздкое. Краевые условия, согласно (8), дают следующее:

$$\begin{aligned} n_{a0}v_a(0) &= C(1 + D)^{-1}, & n_{iL}v_i(L) &= CD \exp[-C\beta F_0(L)][1 + D \exp(-C\beta F_0(L))]^{-1}, \\ F_0(z) &\stackrel{\text{def}}{=} \int_0^z \frac{dz}{v_a(z)|v_i(z)|} > 0. \end{aligned}$$

Обозначая $k_i = n_{iL}|v_i(L)| > 0$, $k_a = n_{a0}v_a(0) > 0$ и исключая $D = C/k_a - 1$, получаем для нахождения константы C трансцендентное уравнение:

$$f(C) \stackrel{\text{def}}{=} \exp[-C\beta F_0(L)] = k_a k_i (k_a - C)^{-1} (k_i + C)^{-1} \stackrel{\text{def}}{=} g(C). \tag{9}$$

Уравнение (9) всегда имеет решение $C = 0$. Другие решения, отличные от $C = 0$, могут существовать только при $-k_i < C < k_a$. На этом интервале функция $g(C)$, легко проверить, имеет единственный absmIn в точке $C_0 = (k_a - k_i)/2$ и $g(-k_i + 0) = g(k_a - 0) = +\infty$. Поэтому из геометрических соображений легко следует, что при $g'(0) \neq f'(0) \Leftrightarrow k_i^{-1} - k_a^{-1} \neq \beta F_0(L)$ уравнение (9) имеет на $(-k_i, k_a)$ еще одно решение C , отличное от нуля. Для этого решения и константы $D = C/k_a - 1$ краевая задача для системы (3) имеет, и притом единственное, решение, задаваемое формулами (8). Если $g'(0) = f'(0)$, то прямое вычисление показывает, что $g''(0) > f''(0)$, и из геометрии

ческих соображений следует, что уравнение (9) имеет на $(-k_i, k_a)$ только нулевое решение. В этом случае стационарное решение системы (3) ищется по формуле (7), которая дает

$$n_i = -[D - \beta F_0(z)]^{-1} [v_i(z)]^{-1}, \quad n_a = -n_i v_i / v_a = -[D - \beta F_0(z)]^{-1} [v_a(z)]^{-1}.$$

Граничные условия при $z = 0$ для n_a и $z = L$ для n_i дают два уравнения для нахождения одной константы D :

$$k_i = -[D - \beta F_0(L)]^{-1}, \quad k_a = -D^{-1},$$

которые в силу условия $g'(0) = f'(0) \Leftrightarrow k_i^{-1} - k_a^{-1} = \beta F_0(L)$ совместны и имеют единственное решение $D = -k_a^{-1}$. В частности, D отрицательно, и в формулах для n_i , n_a не приходится делить на нуль. Итак, при $v_i(z) < 0$ краевая задача для системы (3) тоже имеет, и притом единственное, решение.

Численное решение начально-краевой задачи для системы (1) по разностной схеме, предлагаемой ниже, со стационарными краевыми условиями в случае знакопостоянных $v_a(z)$, $v_i(z)$ показывает, что ее решение при $t \rightarrow +\infty$ сходится к стационарному решению системы (1), в частности, осцилляции концентраций n_i , n_a (бривинг-моды) отсутствуют.

Рассмотрим теперь случай знакопеременных ионных скоростей $v_i(z)$ на типичном примере $v_i(z) = \alpha(z - z_0)$, $z_0 \in (0, L)$, $\alpha > 0$. Тогда $v_i(z_0) = 0$, $\alpha = v_i'(z_0) > 0$. Будем искать только такие стационарные решения, для которых $n_i(z)$ не обращается тождественно в нуль ни на каком интервале, лежащем в $[0, L]$ (если это не так, то $n_i(z) \equiv 0$ на некотором интервале $[0, L]$ и, значит, на этом интервале процесс ионизации прекратился, что противоречит экспериментальным данным по СПД). Из первого интеграла (4), вычисленного в точке z_0 , следует, что $C \geq 0$. Случай $C = 0$ приводит к физически абсурдным решениям (см. ниже). Поэтому считаем $C > 0$. Тогда стационарное решение вычисляется по формулам (6), примененным отдельно к полуинтервалам $[0, z_0)$ и $(z_0, L]$, и имеет вид

$$n_i(z) = \frac{CD_{\pm} |z - z_0|^{\zeta}}{\alpha(z - z_0)(1 + D_{\pm} |z - z_0|^{\zeta})}, \quad n_a(z) = \frac{C/v_a}{1 + D_{\pm} |z - z_0|^{\zeta}}, \quad \zeta = \frac{C\beta}{\alpha v_a}, \quad (10)$$

где константа D_+ действует в полуинтервале $(z_0, L]$, а константа D_- – в полуинтервале $[0, z_0)$. Граничное условие ставится только для n_a на левой границе $z = 0$: $n_a = n_{a0} > 0$. Поскольку $v_i(0) < 0 < v_i(L)$, то для n_i граничные условия на концах $z = 0$ и $z = L$ не нужны. Таким образом, для нахождения стационарного решения (10), удовлетворяющего заданному граничному условию, необходимо по одной константе n_{a0} найти три константы C , D_+ , D_- .

Проведем следующее рассуждение. Пусть $n_i(z)$ бесконечно дифференцируема в окрестности z_0 и не все производные n_i в точке z_0 обращаются в нуль. Пусть $k \geq 0$ – наименьшее целое, для которого $n_i^{(k)}(z_0) \neq 0$. Поскольку $n_i \geq 0$ всюду в $[0, L]$, то с помощью формулы Тейлора (см. ниже) нетрудно показать, что k – четное. Пусть $k = 2\ell$, $\ell \geq 0$. По формуле Тейлора с остаточным членом в форме Пеано имеем

$$n_i(z) = \frac{n_i^{(2\ell)}(z_0)}{(2\ell)!} (z - z_0)^{2\ell} + r(z), \quad n_a(z) = n_a(z_0) + n_a'(z_0)(z - z_0) + R(z), \quad (11)$$

$$r(x) = o((z - z_0)^{2\ell}), \quad R = o(z - z_0), \quad z \rightarrow z_0.$$

Проинтегрируем стационарное уравнение неразрывности для n_i по отрезку $[z_0 - \varepsilon, z_0 + \varepsilon]$ для достаточно малого $\varepsilon > 0$:

$$\int_{z_0 - \varepsilon}^{z_0 + \varepsilon} \frac{\partial n_i v_i}{\partial z} dz = \beta \int_{z_0 - \varepsilon}^{z_0 + \varepsilon} n_i n_a dz.$$

Выражение слева равно

$$\begin{aligned} \int_{z_0-\varepsilon}^{z_0+\varepsilon} \frac{\partial n_i v_i}{\partial z} dz &= (n_i v_i)|_{z_0-\varepsilon}^{z_0+\varepsilon} = n_i(z_0 + \varepsilon)v_i(z_0 + \varepsilon) - n_i(z_0 - \varepsilon)v_i(z_0 - \varepsilon) = \\ &= \alpha \varepsilon [n_i(z_0 + \varepsilon) - n_i(z_0 - \varepsilon)] = \alpha \varepsilon \left[2 \frac{n_i^{(2\ell)}(z_0)}{(2\ell)!} \varepsilon^{2\ell} + r(z_0 + \varepsilon) + r(z_0 - \varepsilon) \right] = \\ &= 2\alpha \frac{n_i^{(2\ell)}(z_0)}{(2\ell)!} \varepsilon^{2\ell+1} + \Delta(\varepsilon), \quad \Delta(\varepsilon) = \alpha \varepsilon [r(z_0 + \varepsilon) + r(z_0 - \varepsilon)], \end{aligned}$$

где из (11) следует $\Delta(\varepsilon) = o(\varepsilon^{2\ell+1})$, $\varepsilon \rightarrow 0$.

Выражение справа равно

$$\begin{aligned} \beta \int_{z_0-\varepsilon}^{z_0+\varepsilon} n_i n_a dz &= \beta \int_{z_0-\varepsilon}^{z_0+\varepsilon} \left[\frac{n_i^{(2\ell)}(z_0)}{(2\ell)!} (z - z_0)^{2\ell} + r(z) \right] [n_a(z_0) + n'_a(z_0)(z - z_0) + R(z)] dz = \\ &= \beta n_a(z_0) \frac{n_i^{(2\ell)}(z_0)}{(2\ell)!} \int_{z_0-\varepsilon}^{z_0+\varepsilon} (z - z_0)^{2\ell} dz + B(\varepsilon) = 2\beta n_a(z_0) \frac{n_i^{(2\ell)}(z_0)}{(2\ell + 1)!} \varepsilon^{2\ell+1} + B(\varepsilon), \end{aligned}$$

где из явного вида для $B(\varepsilon)$ и (11) легко следует $B(\varepsilon) = o(\varepsilon^{2\ell+1})$, $\varepsilon \rightarrow 0$. Приравнявая выведенные выражения для правой и левой частей интегрального тождества, деля полученное равенство на $\varepsilon^{2\ell+1}$ и устремляя ε к нулю, имеем

$$2\alpha \frac{n_i^{(2\ell)}(z_0)}{(2\ell)!} = 2\beta n_a(z_0) \frac{n_i^{(2\ell)}(z_0)}{(2\ell + 1)!} \underset{n_i^{(2\ell)}(z_0) \neq 0}{\Rightarrow} n_a(z_0) = \frac{\alpha}{\beta} (2\ell + 1).$$

Подставляя найденное решение $n_a(z_0)$ во второе уравнение (10) в точке z_0 , получаем $(\alpha/\beta)(2\ell + 1) = C/v_a$, откуда получаем значение константы $C = \alpha v_a (2\ell + 1)/\beta$ и равенство $\zeta = (2\ell + 1)$. Поэтому первое уравнение (10) дает

$$z < z_0: n_i(z) = -\frac{CD_-}{\alpha} \frac{(z - z_0)^{2\ell}}{1 + D_- |z - z_0|^{2\ell+1}}, \quad z > z_0: n_i(z) = \frac{CD_+}{\alpha} \frac{(z - z_0)^{2\ell}}{1 + D_+ |z - z_0|^{2\ell+1}}. \quad (12)$$

Из формулы Тейлора следует, что существует конечный предел

$$\lim_{z \rightarrow z_0} \frac{n_i(z)}{(z - z_0)^{2\ell}} = \frac{n_i^{(2\ell)}(z_0)}{(2\ell)!}.$$

Поэтому из (12) следует, что $-D_- = D_+ \stackrel{\text{def}}{=} D$, т.к. $C \neq 0$, и тогда обе формулы (12) и обе формулы (10) для n_a объединяются в одну уже без знака модуля

$$\begin{aligned} n_i(z) &= \frac{CD(z - z_0)^{2\ell}}{\alpha(1 + D(z - z_0)^{2\ell+1})}, \quad n_a(z) = \frac{C/v_a}{1 + D(z - z_0)^{2\ell+1}}, \quad \ell = 0, 1, 2, \dots, \quad z \in [0, L], \\ C &= \alpha v_a (2\ell + 1)/\beta, \quad D = (1 - C/(n_{a0} v_a))/z_0^{2\ell+1}. \end{aligned} \quad (13)$$

Теперь ищется константа D из второго равенства (13), $D = (1 - C/(n_{a0} v_a))/z_0^{2\ell+1}$. Из интеграла (4) следует $C \leq n_{a0} v_a$, поэтому $D \geq 0$. Но при $D = 0$ из (13) следует $n_i(z) \equiv 0$, $z \in [0, L]$, что невозможно. Значит, $D > 0$.

Итак, установлено, что краевая задача для стационарной системы (1) в случае $v_a = \text{const} > 0$, $v_i(z) = \alpha(z - z_0)$, $\alpha > 0$, $z_0 \in (0, L)$, имеет на отрезке $[0, L]$ счетное число решений, задаваемых формулой (13). Если $n_i(z)$ аналитична в окрестности z_0 , то, очевидно, других решений указанная краевая задача не имеет, и в этом случае формула (13) дает общий вид решений краевой задачи для

стационарной системы (1). Наконец, в случае $C = 0$ стационарное решение системы (1) задается формулой (7) применительно к каждому полуинтервалу $[0, z_0)$, $(z_0, L]$:

$$n_i(z) = (v_a/\beta)(z - z_0)^{-1} \ln^{-1} D_{\pm} |z - z_0|, \quad n_a(z) = (\alpha/\beta) \ln^{-1} D_{\pm} |z - z_0|,$$

где D_{\pm} – положительные константы, причем константа D_- действует для $z < z_0$, а D_+ – для $z > z_0$. Полученное решение физически абсурдно, поскольку $\lim_{z \rightarrow z_0+0} n_i(z) = -\infty$, $\lim_{z \rightarrow z_0-0} n_i(z) = +\infty$, в частности, нарушается неотрицательность концентрации $n_i(z)$ и интегрируемость функции $n_i(z)$ на $[0, L]$ (в точке $z = z_0$ интеграл от $n_i(z)$ расходится).

Предложенный способ построения решений краевых задач пригоден для любой функции $v_i(z)$, имеющей единственный нуль z_0 на $[0, L]$, причем $0 < z_0 < L$ и $v_i'(z_0) > 0$. Приведем два примера.

Пример 1. Пусть $v_i(z) = a(z + z_1)(z - z_0)$, $z_1 > 0$, $0 < z_0 < L$, $a > 0$. Тогда $\alpha = v_i'(z_0) = a(z_0 + z_1) > 0$. Действуя по схеме, предложенной выше, получаем счетное число решений краевой задачи для (3) с граничным условием $n_a(0) = n_{a0} > 0$:

$$n_i(z) = \frac{CD(z - z_0)^{2\ell}}{a(z + z_1)[(z + z_1)^{2\ell+1} + D(z - z_0)^{2\ell+1}]}, \quad n_a(z) = \frac{C}{v_a} \frac{(z + z_1)^{2\ell}}{(z + z_1)^{2\ell+1} + D(z - z_0)^{2\ell+1}},$$

$$C = (2\ell + 1)\alpha v_a \beta^{-1}, \quad D = (1 - C/(n_{a0} v_a))(z_1/z_0)^{2\ell+1}, \quad \ell = 0, 1, 2, \dots, \quad z \in [0, L].$$

При этом $D > 0$. Если $n_i(z)$ аналитична в окрестности z_0 , то указанные функции дают общее решение краевой задачи.

Пример 2. Пусть $v_i(z) = -\cos(\pi z/L)$, $z_0 = L/2$ – единственный нуль на $[0, L]$, $v_i'(z_0) = \pi/L \stackrel{\text{def}}{=} \alpha > 0$. Действуя по схеме, предложенной выше, получаем счетное число решений краевой задачи для (3) с граничным условием $n_a(0) = n_{a0} > 0$:

$$n_i(z) = \frac{CD(\operatorname{tg}(\alpha z/2) - 1)^{2\ell} (1 + \operatorname{tg}^2(\alpha z/2))}{(1 + \operatorname{tg}(\alpha z/2))[(1 + \operatorname{tg}(\alpha z/2))^{2\ell+1} + D(\operatorname{tg}(\alpha z/2) - 1)^{2\ell+1}]},$$

$$n_a(z) = \frac{C}{v_a} \frac{(\operatorname{tg}(\alpha z/2) + 1)^{2\ell+1}}{(\operatorname{tg}(\alpha z/2) + 1)^{2\ell+1} + D(\operatorname{tg}(\alpha z/2) - 1)^{2\ell+1}},$$

$$C = \alpha v_a \beta^{-1} (2\ell + 1), \quad D = 1 - C/(n_{a0} v_a), \quad \ell = 0, 1, 2, \dots, \quad z \in [0, L].$$

При этом $D > 0$. Если $n_i(z)$ аналитична в окрестности z_0 , то указанные функции дают общее решение краевой задачи.

Интегральное тождество, из которого выводились выше значения констант C , D_{\pm} , имеет простой смысл – это баланс количества ионов, возникающих на отрезке $[z_0 - \varepsilon, z_0 + \varepsilon]$ вследствие ионизации и за счет переноса ионов со скоростью v_i через границы отрезка. Основная идея подсчета констант заключалась в том, чтобы найти асимптотики обоих количеств при $\varepsilon \rightarrow 0$ (\equiv главные члены разложений по ε обеих частей интегрального тождества) и приравнять их. Этот прием позволяет получать и другие неочевидные результаты. Например, если $v_i(z)$ обращается в нуль в некоторой точке $z_0 \in (0, L)$, в окрестности которой n_i аналитична и для которой $\alpha = v_i'(z) < 0$, то стационарная система (3) не имеет решений. Действительно, для такого решения, повторяя рассуждения выше, получаем равенство $n_a(z_0) = \alpha(2\ell + 1)/\beta$ для некоторого целого $\ell \geq 0$, из которого вытекает неравенство $n_a(z_0) < 0$, что физически абсурдно. Другой пример дает функция $v_i(z)$, которая на отрезке $[0, L]$ имеет единственный нуль $z_0 \in (0, L)$ и выполнено условие $v_i'(z_0) = 0$. Тогда система (3) решений не имеет. Действительно, повторяя рассуждения выше применительно к интегральному тождеству, получаем $n_a(z_0) = 0$, и, значит, константа C в первом интеграле (4) равна нулю. С другой стороны, функция $n_a(z)$ монотонно невозрастающая на $[0, L]$ и неотрицательная, поэтому $n_a(z) \equiv 0$, $z \in [z_0, L]$, но тогда из интеграла (4) с учетом $C = 0$ и знакоопределенности $v_i(z)$ на $(z_0, L]$ следует, что и $n_i(z) \equiv 0$, $z \in [z_0, L]$, что физически абсурдно. Добавим, если вычислить n_i на $[0, z_0)$ посредством формулы (7), то нетрудно убедиться в разрывности функции n_i в точке z_0 и логарифмической расходимости интеграла от $n_i(z)$ по отрезку $[0, L]$, что противоречит физическому смыслу концентрации ионов. Обобщая предыдущие примеры, приходим к фи-

зически важному выводу, что граничная задача для системы (3) имеет решение только если скорость $v_i(z)$ обладает единственным нулем $z_0 \in (0, L)$, для которого $\alpha = v_i'(z_0) > 0$. В этом случае при определенном соотношении β и α возникают ионизационные колебания (бривинг-моды).

Для численного решения перепишем систему (1) в безразмерном виде, взяв за характерные масштабы длины $L_0 = 1$ см, скорости $v_0 = 1.5 \times 10^5$ см/с, времени $t_0 = L_0/v_0 = 0.66 \times 10^{-5}$ с, концентрации $n_0 = 10^{12}$ см $^{-3}$, $\beta = 10^{-8}$ см 3 /с. Тогда система (1) относительно безразмерных значений всех величин переписывается в виде:

$$\partial n_a / \partial t + \partial(n_a v_a) / \partial z = -k_I n_a n_i, \quad \partial n_i / \partial t + \partial(n_i v_i) / \partial z = k_I n_a n_i, \quad (14)$$

где k_I – безразмерное значение коэффициента ионизации.

Рассмотрим типичный пример расчета бривинг-мод по дивергентной разностной схеме “разности против потока” [15] на равномерной сетке на отрезке $[0, L]$:

$$\begin{aligned} \frac{n_{a,k}^1 - n_{a,k}^0}{\tau} + v_a \frac{n_{a,k}^0 - n_{a,k-1}^0}{h} + k_I n_{a,k}^1 n_{i,k}^0 = 0, \quad 0 < k \leq N, \quad n_{a,0}^1 = n_{a,0}^0, \\ \frac{n_{i,k}^1 - n_{i,k}^0}{\tau} + \frac{1}{h} \left[\frac{v_{i,k+1/2} - |v_{i,k+1/2}|}{2} n_{i,k+1}^0 + \left(\frac{v_{i,k+1/2} + |v_{i,k+1/2}|}{2} - \frac{v_{i,k-1/2} - |v_{i,k-1/2}|}{2} \right) n_{i,k}^0 - \right. \\ \left. - \frac{v_{i,k-1/2} + |v_{i,k-1/2}|}{2} n_{i,k-1}^0 \right] - k_I n_{i,k}^0 n_{a,k}^0 = 0, \end{aligned} \quad (15)$$

где $v_{i,k+1/2} = v_i((k+1/2)h)$, $-1 \leq k \leq N$. Заметим, что при $k=0$ значение $n_{i,-1}^0$, а при $k=N$ значение $n_{i,N+1}^0$ умножается на нуль и в силу этого не используется. Условия устойчивости для схемы имеют вид:

$$\tau \leq h/v_a, \quad \tau \leq h \left[\max_{-1 \leq k \leq N} |v_{i,k+1/2}| \right]^{-1}, \quad \tau \leq \left[\max_{0 \leq k \leq N} |v_{i,k+1/2} - v_{i,k-1/2}| \right]^{-1}.$$

При соблюдении условий устойчивости нетрудно получить оценки

$$\max |n_{i,k}^1| \leq \max |n_{i,k}^0| \left\{ 1 + (\tau/h) \max |v_{i,k+1/2} - v_{i,k-1/2}| + \tau k_I \max |n_{a,k}^0| \right\}, \quad \max |n_{a,k}^1| \leq \max |n_{a,k}^0|,$$

где \max берется по $0 \leq k \leq N$. Эти оценки гарантируют вычислительную устойчивость схемы (15) на конечном временном отрезке $[0, T]$.

Рассмотрим результаты расчета по схеме (15), представленные на фиг. 1, для $v_i(z) = \alpha(z - z_0)$. Фиг. 1 демонстрирует возникновение периодических колебаний концентраций n_a, n_i (бривинг-мод) с размерной частотой ~ 20 кГц. Эти колебания возникают не при всех $k_I > 0, \alpha > 0$. Очевидно, на плоскости $k_I > 0, \alpha > 0$ существует некоторая неизвестная нам область, для (k_I, α) из которой возникают бривинг-моды. Для (k_I, α) , не попавших в указанную область, счет по схеме (15) приводит к установлению решения. Вероятно, появление бривинг-мод связано с неединственностью решения краевой задачи для системы (3), установленной выше. Решение начально-краевой задачи для системы (1) может при $t \rightarrow +\infty$ сходиться к одному из счетного числа стационарных состояний, задаваемых формулами (13), но может, как показывают расчеты, при $t \rightarrow +\infty$ выходить на периодический режим (фиг. 1), не притягиваясь ни к одному из стационарных состояний. Логически возможен также хаотический характер решения начально-краевой задачи для системы (1) при $t \rightarrow +\infty$, но в расчетах он зафиксирован не был. Математическая причина возникновения бривинг-мод будет разъяснена в разд. 3.

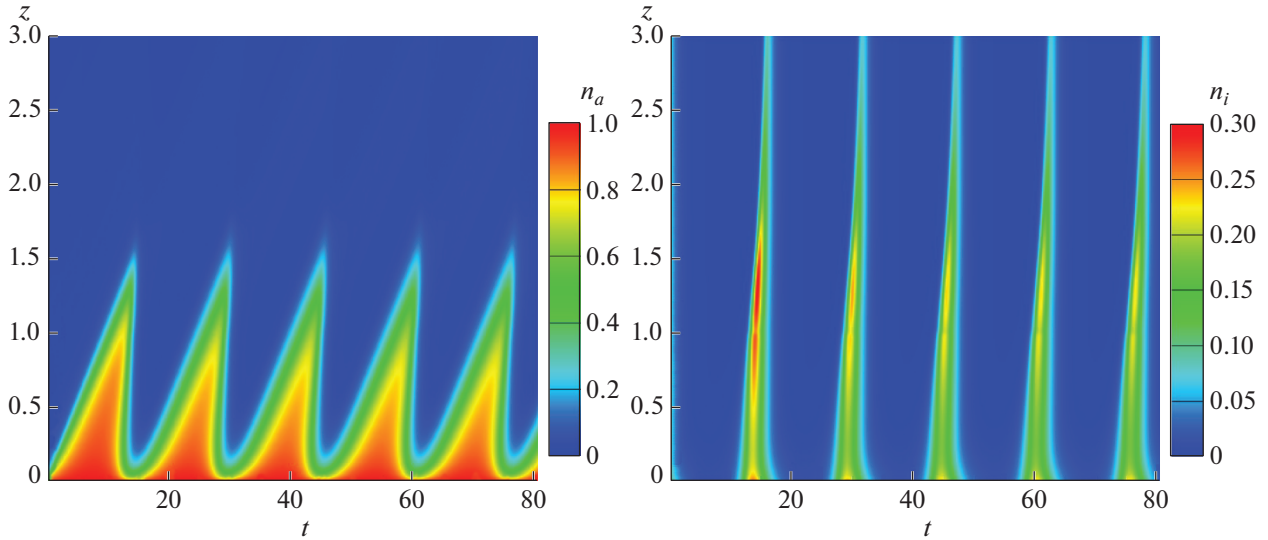
3. РЕШЕНИЕ УРАВНЕНИЙ ИОНИЗАЦИИ В СЛУЧАЕ ПОСТОЯННЫХ СКОРОСТЕЙ

Решим систему (1) в случае $v_a = \text{const}, v_i = \text{const}$. В безразмерном виде она является частным случаем системы (14):

$$\partial n_a / \partial t + v_a \partial n_a / \partial z = -k_I n_a n_i, \quad \partial n_i / \partial t + v_i \partial n_i / \partial z = k_I n_a n_i. \quad (16)$$

Рассмотрим основной случай $v_a \neq v_i$. Проведем замену независимых переменных:

$$(t, z) \leftrightarrow (\alpha, \beta) : (t, z) = \alpha(1, v_a) + \beta(1, v_i),$$



Фиг. 1. Эволюция концентраций ионов (n_i) и атомов (n_a) в пространстве (z) и времени (t) для безразмерных значений параметров $L = 3$, $z_0 = 1$, $\alpha = 1$, $k_I = 5$, $v_a = 0.1$ с начальными и граничными значениями $n_{a0} = 1$, $n_a^0(z) = n_{a0}/(1 + 50z)$, $n_i^0(z) = 0.1$.

или в координатном виде:

$$t = \alpha + \beta, \quad z = \alpha v_a + \beta v_i, \quad \alpha = (tv_i - z)(v_i - v_a)^{-1}, \quad \beta = (z - tv_a)(v_i - v_a)^{-1}, \quad (\alpha, \beta) = \varphi(t, z). \quad (17)$$

Отсюда для дифференциальных операторов получим соотношения

$$\frac{\partial}{\partial t} = \frac{v_i}{v_i - v_a} \frac{\partial}{\partial \alpha} - \frac{v_a}{v_i - v_a} \frac{\partial}{\partial \beta}, \quad \frac{\partial}{\partial z} = -\frac{1}{v_i - v_a} \frac{\partial}{\partial \alpha} + \frac{1}{v_i - v_a} \frac{\partial}{\partial \beta}.$$

Подставляя эти выражения в систему (16), сведем ее к эквивалентному виду:

$$\frac{\partial n_a}{\partial \alpha} = -k_I n_a n_i, \quad \frac{\partial n_i}{\partial \beta} = k_I n_a n_i. \quad (18)$$

Итак, задача нахождения непрерывно дифференцируемых решений системы (16) в области D переменных (t, z) равносильна задаче нахождения непрерывно дифференцируемых решений системы (18) в области $\varphi(D)$ переменных (α, β) . Отображение φ линейное, невырожденное, с определителем $\det \varphi = 1/(v_i - v_a) \neq 0$. В частности, φ прямые переводит в прямые, многоугольники – в многоугольники, выпуклые множества – в выпуклые множества и т.д. Элементарная теория решений системы (18) в прямоугольнике $\Pi = [\alpha_0, \alpha_1] \times [\beta_0, \beta_1]$, $\alpha_0 < \alpha_1$, $\beta_0 < \beta_1$, основана на двух результатах [16].

Теорема 1. 1) Пусть $A(\alpha)$, $B(\beta)$ – дважды непрерывно дифференцируемые функции на отрезках $[\alpha_0, \alpha_1]$, $[\beta_0, \beta_1]$, соответственно, причем $A(\alpha) \neq B(\beta)$ для любых $\alpha \in [\alpha_0, \alpha_1]$, $\beta \in [\beta_0, \beta_1]$. Тогда функции

$$n_a(\alpha, \beta) \stackrel{\text{def}}{=} \frac{B'(\beta)}{k_I(A(\alpha) - B(\beta))}, \quad n_i(\alpha, \beta) \stackrel{\text{def}}{=} \frac{A'(\alpha)}{k_I(A(\alpha) - B(\beta))} \quad (19)$$

составляют непрерывно дифференцируемое решение системы (18) в прямоугольнике Π .

2) Если непрерывно дифференцируемые решения n_a , n_i системы (18) таковы, что множество нулей каждой из этих функций в Π имеет пустую внутренность и $\bar{A}(\alpha)$, $\bar{B}(\beta)$ еще один комплект функций на $[\alpha_0, \alpha_1]$, $[\beta_0, \beta_1]$, соответственно, удовлетворяющий условиям части 1) теоремы и восстанавливающий по формулам (19) те же самые функции n_a , n_i в Π , то найдутся константы $R \neq 0$, C , для которых:

$$\bar{A}(\alpha) = RA(\alpha) + C, \quad \alpha \in [\alpha_0, \alpha_1], \quad \bar{B}(\beta) = RB(\beta) + C, \quad \beta \in [\beta_0, \beta_1]. \quad (20)$$

Обратно, если $\bar{A}(\alpha), \bar{B}(\beta)$ вычисляются по $A(\alpha), B(\beta)$ посредством формул (20) для некоторых констант $R \neq 0, C$, то они удовлетворяют условиям части 1) и по формулам (19) восстанавливают те же функции n_a, n_i , что и для $A(\alpha), B(\beta)$.

3) В условиях части 1) теоремы функции n_a, n_i , вычисляемые по формулам (19), удовлетворяют всюду в Π неравенствам $n_a \geq 0, n_i \geq 0$ тогда и только тогда, когда либо $A(\alpha), B(\beta)$ монотонно не убывают на $[\alpha_0, \alpha_1], [\beta_0, \beta_1]$, соответственно, и $\inf_{\alpha \in [\alpha_0, \alpha_1]} A(\alpha) > \sup_{\beta \in [\beta_0, \beta_1]} B(\beta) (\equiv A(\alpha_0) > B(\beta_1))$, либо $A(\alpha), B(\beta)$ монотонно не возрастают соответственно на $[\alpha_0, \alpha_1], [\beta_0, \beta_1]$ и $\sup_{\alpha \in [\alpha_0, \alpha_1]} A(\alpha) < \inf_{\beta \in [\beta_0, \beta_1]} B(\beta) (\equiv A(\alpha_0) < B(\beta_1))$.

Если $A(\alpha), B(\beta)$ удовлетворяют условиям части 1) теоремы 1, то n_a, n_i , вычисляемые по формулам (19), непрерывно дифференцируемы в Π и существуют непрерывные в Π смешанные производные $\partial^2 n_a / (\partial \alpha \partial \beta), \partial^2 n_a / (\partial \beta \partial \alpha)$ и $\partial^2 n_i / (\partial \alpha \partial \beta), \partial^2 n_i / (\partial \beta \partial \alpha)$. Это обстоятельство позволяет сформулировать обратное утверждение.

Теорема 2. Пусть $n_a > 0, n_i > 0$ – непрерывно дифференцируемое решение (18) в прямоугольнике Π , для которого существуют обе непрерывные в Π смешанные частные производные $\partial^2 n_a / (\partial \alpha \partial \beta), \partial^2 n_a / (\partial \beta \partial \alpha)$ и $\partial^2 n_i / (\partial \alpha \partial \beta), \partial^2 n_i / (\partial \beta \partial \alpha)$. Тогда найдутся дважды непрерывно дифференцируемые функции $A(\alpha), B(\beta)$, определенные на сторонах прямоугольника, соответственно, $[\alpha_0, \alpha_1]$ и $[\beta_0, \beta_1]$, для которых $A(\alpha) \neq B(\beta)$ при всех $\alpha \in [\alpha_0, \alpha_1], \beta \in [\beta_0, \beta_1]$ и всюду в Π выполнены равенства (19).

Замечание. Таким образом, для класса положительных непрерывно дифференцируемых решений системы (18), для которых в Π существуют обе непрерывные смешанные частные производные, формулы (19) задают общий вид решений этого класса.

Из теоремы 1 п. 2) следует, что в формулах (19) всегда можно считать $A(\alpha), B(\beta)$ монотонно неубывающими функциями на $[\alpha_0, \alpha_1], [\beta_0, \beta_1]$ соответственно. Кроме того, стороны прямоугольника Π могут быть интервалами или полуинтервалами, в том числе полубесконечными или бесконечными. Соответствующие изменения формулировки теоремы 1 п. 3) очевидны.

Из теорем 1, 2 следует, что в $\varphi^{-1}(\Pi)$ решение системы (16) задается формулами:

$$n_a(t, z) = \frac{B' \left(\frac{z - tv_a}{v_i - v_a} \right)}{k_I \left[A \left(\frac{tv_i - z}{v_i - v_a} \right) - B \left(\frac{z - tv_a}{v_i - v_a} \right) \right]}, \quad n_i(t, z) = \frac{A' \left(\frac{z - tv_a}{v_i - v_a} \right)}{k_I \left[A \left(\frac{tv_i - z}{v_i - v_a} \right) - B \left(\frac{z - tv_a}{v_i - v_a} \right) \right]}, \quad (21)$$

где $A(\alpha), B(\beta)$ – произвольные функции, удовлетворяющие условию теоремы 1 п. 1.

Формулы (21) справедливы для $v_i \neq v_a$. При $v_i = v_a$ они теряют смысл. Для $v_i = v_a = v$ общее решение системы (16) получается напрямую, без введения новых координат α, β , интегрированием уравнений этой системы вдоль характеристик. Характеристики системы (16) имеют вид $z(t) = vt + \text{const}$ и различаются значениями const . Пусть $n_a(t) = n_a(t, z(t)), n_i(t) = n_i(t, z(t))$ значения неизвестных функций n_a, n_i вдоль фиксированной характеристики. Тогда из (16) следует, что функции $n_a(t), n_i(t)$ удовлетворяют системе ОДУ

$$dn_a/dt = -k_I n_a n_i, \quad dn_i/dt = k_I n_a n_i. \quad (22)$$

Складывая почленно эти уравнения, получаем первый интеграл системы (22):

$$d(n_a + n_i)/dt \equiv 0 \Rightarrow n_a + n_i \equiv C = \text{const}.$$

Поскольку $n_a \geq 0, n_i \geq 0$, то $C \geq 0$. При $C = 0$ имеем $n_a(t) \equiv 0, n_i(t) \equiv 0$ – тривиальное решение системы (22), не имеющее смысла. Поэтому ниже считаем $C > 0$. Тогда $n_a = C - n_i$, и для нахождения n_i имеем ОДУ

$$dn_i/dt = k_I n_i (C - n_i). \quad (23)$$

Интегрируя, получаем

$$\int \frac{dn_i}{n_i(C - n_i)} = k_I t + \text{const} \Rightarrow \frac{1}{C} \ln \left| \frac{n_i}{C - n_i} \right| = k_I t + \text{const}.$$

Поскольку $n_i \geq 0$, $n_a = C - n_i \geq 0$, то $0 \leq n_i \leq C$, и в последнем равенстве знак модуля можно убрать. В результате получим

$$n_i = CD \exp(Ck_I t) [1 + D \exp(Ck_I t)]^{-1}, \quad n_a = C - n_i = C[1 + D \exp(Ck_I t)]^{-1}, \quad D \geq 0, \quad C > 0. \quad (24)$$

В случае $D = 0$ получим одно из двух особых решений (23): $n_i \equiv 0$. Другое особое решение $n_i \equiv C$. Формулы (24) задают общее решение системы (22) на произвольной характеристике. Константы C и D определяются значениями n_a, n_i в произвольной точке на рассматриваемой характеристике. В частности, при решении начально-краевых задач для системы (16) значения C и D определяются начальными и граничными условиями (см. ниже).

Применим формулы (21), (24) для решения начально-краевых задач для системы (16), которые представляют основной практический интерес. Ограничимся следующими простейшими задачами.

Задача 1. Начальная задача (задача Коши): в полуплоскости $z \in \mathbb{R}$, $t \geq 0$ найти непрерывно дифференцируемое решение системы (16), для которого выполнены начальные условия $n_a(0, z) = n_a^0(z)$, $n_i(0, z) = n_i^0(z)$, $z \in \mathbb{R}$, где $n_a^0(z)$, $n_i^0(z)$ – заданные неотрицательные непрерывно дифференцируемые функции на прямой.

Задача 2. Краевая задача: для $v_a, v_i \geq 0$ в полуплоскости $z \geq 0$, $t \in \mathbb{R}$ найти непрерывно дифференцируемое решение системы (16), для которого выполнены краевые условия $n_a(t, 0) = n_{a0}(t)$, $n_i(t, 0) = n_{i0}(t)$, $t \in \mathbb{R}$, где $n_{a0}(t)$, $n_{i0}(t)$ – заданные неотрицательные непрерывно дифференцируемые функции на прямой.

Задача 3. Начально-краевая (смешанная) задача: для $v_a, v_i \geq 0$ в первом квадранте $z \geq 0$, $t \geq 0$ найти непрерывно дифференцируемое решение системы (16), для которого выполнены начальные условия $n_a(0, z) = n_a^0(z)$, $n_i(0, z) = n_i^0(z)$, $z \geq 0$ и краевые условия $n_a(t, 0) = n_{a0}(t)$, $n_i(t, 0) = n_{i0}(t)$, $t \geq 0$, где $n_a^0(z)$, $n_i^0(z)$, $z \geq 0$, $n_{a0}(t)$, $n_{i0}(t)$, $t \geq 0$ – заданные непрерывно дифференцируемые функции на полупрямых $z \geq 0$ и $t \geq 0$, подчиняющиеся условиям согласованности:

$$n_{a0}(0) = n_a^0(0), \quad n_{i0}(0) = n_i^0(0), \quad n_{a0}'(0) + v_a(n_a^0)'(0) + k_I n_{a0}(0) n_{i0}(0) = 0, \\ n_{i0}'(0) + v_i(n_i^0)'(0) - k_I n_{a0}(0) n_{i0}(0) = 0.$$

Более сложные начально-краевые задачи в этой работе не рассматриваются.

В случае $v_i = v_a$ начально-краевые задачи легко решаются по формуле (32) методом характеристик.

Рассмотрим задачу 1 в случае $v_a \neq v_i$. В переменных (α, β) задача состоит в поиске непрерывно дифференцируемого решения системы (18) в полуплоскости $P \stackrel{\text{def}}{=} \{\alpha + \beta \geq 0\}$, которое на границе этой полуплоскости $\alpha + \beta = 0$ имеет заданные значения

$$\alpha + \beta = 0 \Rightarrow n_a(\alpha, \beta) = n_a(-\beta, \beta) = n_a^0(\alpha v_a + \beta v_i) = n_a^0(\beta(v_i - v_a)), \\ n_i(\alpha, \beta) = n_i(-\beta, \beta) = n_i^0(\alpha v_a + \beta v_i) = n_i^0(\beta(v_i - v_a)).$$

Выше был изложен способ решения системы (18) в произвольном прямоугольнике Π . Построим решение системы (18) в бесконечном прямоугольнике $\Pi_\infty = \mathbb{R} \times \mathbb{R} \supseteq P$, которое на прямой $\alpha + \beta = 0$ совпадает с заданными функциями, $n_a|_{\alpha+\beta=0} = n_a^0(\beta(v_i - v_a))$, $n_i|_{\alpha+\beta=0} = n_i^0(\beta(v_i - v_a))$. Если такое решение существует, то его сужение на P дает, очевидно, искомое решение задачи Коши в переменных (α, β) . Согласно теореме 1, решение системы (18) в прямоугольнике Π_∞ определяется двумя дважды непрерывно дифференцируемыми функциями $A(\alpha)$, $B(\beta)$, $\alpha, \beta \in \mathbb{R}$ и вычисляется по этим функциям посредством формул (19). При этом, согласно теореме 1, $A(\alpha)$, $B(\beta)$ должны удовлетворять двум условиям: 1) области значений функций $A(\alpha)$, $B(\beta)$ не пересекаются, $A(\mathbb{R}) \cap B(\mathbb{R}) = \emptyset$, и тогда, учитывая связность прямой \mathbb{R} , либо $A(\mathbb{R}) < B(\mathbb{R})$, либо $B(\mathbb{R}) < A(\mathbb{R})$,

2) если $A(\mathbb{R}) < B(\mathbb{R})$, то $A(\alpha), B(\beta)$ – монотонно невозрастающие на \mathbb{R} функции, если $B(\mathbb{R}) < A(\mathbb{R})$, то $A(\alpha), B(\beta)$ – монотонно неубывающие на \mathbb{R} функции.

Функции $A(\alpha), B(\beta)$ ищутся по известным значениям n_a и n_i на прямой $\alpha + \beta = 0$ (т.е. из начальных условий). Из тождеств (19) получим:

$$\begin{aligned} n_a^0(\beta(v_i - v_a)) &= n_a(-\beta, \beta) = B'(\beta)k_I^{-1}(A(-\beta) - B(\beta))^{-1}, \\ n_i^0(\beta(v_i - v_a)) &= n_i(-\beta, \beta) = A'(-\beta)k_I^{-1}(A(-\beta) - B(\beta))^{-1}, \quad \beta \in \mathbb{R}. \end{aligned} \tag{25}$$

Пусть $n_a(\beta) = k_I n_a^0(\beta(v_i - v_a))$, $n_i(\beta) = k_I n_i^0(\beta(v_i - v_a))$, $A_0(\beta) = A(-\beta)$. Тогда n_a, n_i неотрицательные функции, а условия (25) дают линейную систему обыкновенных дифференциальных уравнений с переменными коэффициентами для нахождения функций $A_0(\beta), B(\beta)$ на прямой \mathbb{R} :

$$B' = n_a(\beta)(A_0 - B), \quad A_0' = -n_i(\beta)(A_0 - B). \tag{26}$$

Поскольку $n_a(\beta), n_i(\beta)$ непрерывно дифференцируемы по β , то любое решение системы (26) дважды непрерывно дифференцируемо всюду на прямой. Кроме того, для любых $C, D \in \mathbb{R}$ существует, и притом единственное, решение системы (26), для которого $A_0(0) = C, B(0) = D$. Ниже считается $C \neq D$. Легко показать, что решение (26) с начальным условием $A_0(0) = C, B(0) = D$ имеет вид:

$$\begin{aligned} B(\beta) &= D + (C - D) \int_0^\beta n_a(\beta) \exp(-N(\beta)) d\beta, \\ A_0(\beta) &= C + (D - C) \int_0^\beta n_i(\beta) \exp(-N(\beta)) d\beta, \quad N(\beta) \stackrel{\text{def}}{=} \int_0^\beta (n_a(\beta) + n_i(\beta)) d\beta. \end{aligned} \tag{27}$$

Из равенств (27) несложно вывести справедливость условий 1) и 2).

Согласно теореме 1, формулы (19) с учетом (27) дают решение задачи Коши в переменных $(\alpha, \beta) \in P$:

$$n_a(\alpha, \beta) = \frac{n_a(\beta)e^{-N(\beta)}}{k_I R_0(\alpha, \beta)}, \quad n_i(\alpha, \beta) = \frac{n_i(\alpha)e^{-N(\alpha)}}{k_I R_0(\alpha, \beta)}, \quad R_0(\alpha, \beta) = \left[1 - \int_0^{-\alpha} n_i e^{-N} d\alpha - \int_0^\beta n_a e^{-N} d\beta \right].$$

В переменных (z, t) получаем следующие формулы:

$$\begin{aligned} n_a(z, t) &= n_a^0(z - v_a t) e^{-N(z - v_a t)} \left[1 - \frac{k_I}{v_i - v_a} \left\{ \int_0^{z - v_i t} n_i^0(p) e^{-N(p)} dp + \int_0^{z - v_a t} n_a^0(p) e^{-N(p)} dp \right\} \right]^{-1}, \\ n_i(z, t) &= n_i^0(z - v_i t) e^{-N(z - v_i t)} \left[1 - \frac{k_I}{v_i - v_a} \left\{ \int_0^{z - v_i t} n_i^0(p) e^{-N(p)} dp + \int_0^{z - v_a t} n_a^0(p) e^{-N(p)} dp \right\} \right]^{-1}, \\ N(p) &= \frac{k_I}{v_i - v_a} \int_0^p [n_a^0(q) + n_i^0(q)] dq, \quad z \in \mathbb{R}, \quad t \geq 0, \end{aligned} \tag{28}$$

где $n_i^0(p) \geq 0, n_a^0(p) \geq 0$ – заданные произвольно непрерывно дифференцируемые функции и знаменатель в формулах (28) заведомо положителен. Итак, формулы (28) дают аналитическое решение системы (16) при $t \geq 0$, удовлетворяющее начальному условию $n_a(z, 0) = n_a^0(z), n_i(z, 0) = n_i^0(z), z \in \mathbb{R}$.

Рассмотрим краевую задачу 2 в случае $v_i \neq v_a$. Анализ этого случая проходит по той же схеме, что и решение задачи Коши выше. Выделим основные моменты. В переменных (α, β) ищем непрерывно дифференцируемое решение системы (18) в полуплоскости $P_0 = \{\alpha v_a + \beta v_i \geq 0\}$, для которого функции n_a, n_i на границе полуплоскости $P_0, \partial P_0 = \{\alpha v_a + \beta v_i = 0\}$ принимают заданные значения $n_a(\alpha, \beta) = n_{a0}(\alpha + \beta), n_i(\alpha, \beta) = n_{i0}(\alpha + \beta), \alpha v_a + \beta v_i = 0$. Построим такое непрерывно дифференцируемое решение системы (18) в бесконечном прямоугольнике $\Pi_\infty = \mathbb{R} \times \mathbb{R} \supseteq P_0$, которое на границе полуплоскости P_0 , т.е. на прямой $\alpha v_a + \beta v_i = 0$, совпадает с заданными функциями

$n_{a0}(\alpha + \beta)$, $n_{i0}(\alpha + \beta)$. Тогда, очевидно, сужение этого решения на P_0 будет искомым решением краевой задачи в координатах (α, β) . Согласно теореме 1, искомое решение определяется двумя непрерывно дифференцируемыми функциями $A(\alpha)$, $B(\beta)$ и вычисляется по этим функциям посредством формул (19). При этом функции $A(\alpha)$, $B(\beta)$ должны удовлетворять условиям 1) и 2), сформулированным выше. Функции $A(\alpha)$, $B(\beta)$ ищутся по известным значениям n_a , n_i на границе P_0 . На этой границе $\beta = -\alpha v_a/v_i$ и, значит, согласно (19), имеем

$$\begin{aligned} n_{a0}(\alpha(v_i - v_a)/v_i) &= B'(-\alpha v_a/v_i)k_I^{-1}[A(\alpha) - B(-\alpha v_a/v_i)]^{-1}, \\ n_{i0}(\alpha(v_i - v_a)/v_i) &= A'(\alpha)k_I^{-1}[A(\alpha) - B(-\alpha v_a/v_i)]^{-1}, \quad \alpha \in \mathbb{R}. \end{aligned} \tag{29}$$

Пусть $n_a(\alpha) = k_I(v_a/v_i)n_{a0}(\alpha(v_i - v_a)/v_i)$, $n_i(\alpha) = k_I n_{i0}(\alpha(v_i - v_a)/v_i)$, $B_0(\alpha) = B(-\alpha v_a/v_i)$. Тогда краевое условие (29) дает линейную систему обыкновенных дифференциальных уравнений на прямой с переменными коэффициентами для нахождения функций $A(\alpha)$, $B_0(\alpha)$:

$$B'_0 = -n_a(\alpha)(A - B_0), \quad A' = n_i(\alpha)(A - B_0). \tag{30}$$

Поскольку $n_a(\alpha)$, $n_i(\alpha)$ непрерывно дифференцируемы, то любое решение системы (30) дважды непрерывно дифференцируемо и определено на всей прямой. Рассмотрим решение задачи Коши для системы (30) с начальными условиями $A(0) = C \neq B_0(0) = D$. Несложно проверить, что это решение вычисляется по формулам (см. выше):

$$B_0(\alpha) = D + (D - C) \int_0^\alpha n_a e^N d\alpha, \quad A(\alpha) = C + (C - D) \int_0^\alpha n_i e^N d\alpha, \quad N(\alpha) \stackrel{\text{def}}{=} \int_0^\alpha (n_a + n_i) d\alpha. \tag{31}$$

Из формул (31) выводится (см. выше) справедливость условий 1) и 2) для функций $A(\alpha)$, $B(\beta) = B_0(-\beta v_i/v_a)$.

По формулам (19) с учетом выражений (31) получим решение краевой задачи в координатах $(\alpha, \beta) \in P_0$:

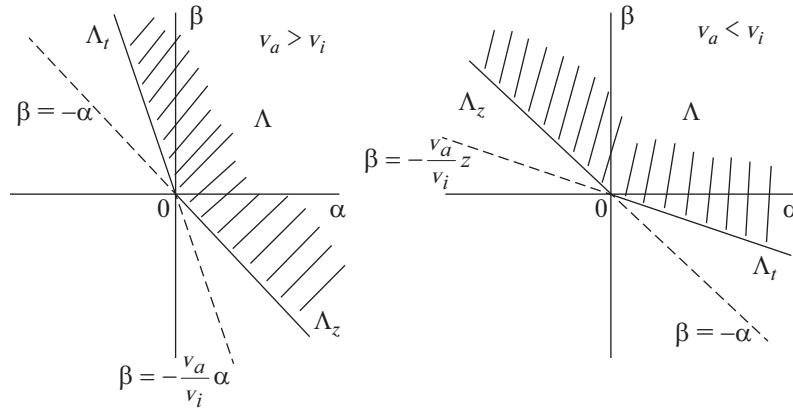
$$\begin{aligned} n_a(\alpha, \beta) &= \frac{v_i}{v_a} n_a(-\beta v_i/v_a) \exp(N(-\beta v_i/v_a)) k_I^{-1} \left[1 + \int_0^\alpha n_i e^N d\alpha + \int_0^{-\beta v_i/v_a} n_a e^N d\beta \right]^{-1}, \\ n_i(\alpha, \beta) &= n_i(\alpha) \exp(N(\alpha)) k_I^{-1} \left[1 + \int_0^\alpha n_i e^N d\alpha + \int_0^{-\beta v_i/v_a} n_a e^N d\beta \right]^{-1}. \end{aligned}$$

Подставляя в эти формулы $\alpha = (tv_i - z)/(v_i - v_a)$, $\beta = (z - tv_a)/(v_i - v_a)$, получаем после несложных преобразований решение краевой задачи в переменных (z, t) :

$$\begin{aligned} n_a(z, t) &= n_{a0} \left(t - \frac{z}{v_a} \right) e^{N(t-z/v_a)} \left[1 + \frac{k_I}{v_i - v_a} \left\{ \int_0^{t-z/v_i} v_i n_{i0}(p) e^{N(p)} dp + \int_0^{t-z/v_a} v_a n_{a0}(p) e^{N(p)} dp \right\} \right]^{-1}, \\ n_i(z, t) &= n_{i0} \left(t - \frac{z}{v_i} \right) e^{N(t-z/v_i)} \left[1 + \frac{k_I}{v_i - v_a} \left\{ \int_0^{t-z/v_i} v_i n_{i0}(p) e^{N(p)} dp + \int_0^{t-z/v_a} v_a n_{a0}(p) e^{N(p)} dp \right\} \right]^{-1}, \\ N(p) &= \frac{k_I}{v_i - v_a} \int_0^p [v_a n_{a0}(q) + v_i n_{i0}(q)] dq, \end{aligned} \tag{32}$$

где $n_{a0}(p) \geq 0$, $n_{i0}(p) \geq 0$ – произвольные непрерывно дифференцируемые функции. Итак, формулы (32) дают аналитическое решение системы (16) в полуплоскости $z \geq 0$, удовлетворяющее краевому условию $n_a(0, t) = n_{a0}(t)$, $n_i(0, t) = n_{i0}(t)$ для всех $t \in \mathbb{R}$.

Рассмотрим смешанную задачу 3 в случае $v_a > 0$, $v_i > 0$, $v_a \neq v_i$. В координатах (α, β) ее решение сводится к поиску в тупом угле $\Lambda \stackrel{\text{def}}{=} \{(\alpha, \beta) : \alpha + \beta \geq 0, \alpha v_a + \beta v_i \geq 0\}$ непрерывно дифференцируемых функций $n_a(\alpha, \beta)$, $n_i(\alpha, \beta)$, удовлетворяющих системе (18) и имеющих заданные значения на границе угла $\partial\Lambda$. Последнее множество состоит из двух лучей, которые обозначим через



Фиг. 2. Угол Λ и лучи Λ_t, Λ_z в зависимости от v_i, v_a .

Λ_t и Λ_z : $\partial\Lambda = \Lambda_t \cup \Lambda_z, \Lambda_t \cap \Lambda_z = \{(0, 0)\}, \Lambda_t = \varphi\{(t, 0) : t \geq 0\}, \Lambda_z = \varphi\{(0, z) : z \geq 0\}$. В зависимости от v_i, v_a угол Λ и лучи Λ_t, Λ_z изображены на фиг. 2.

Значения искомого решения на лучах Λ_t, Λ_z определяются равенствами $n_a(\alpha, \beta) = n_{a0}(\alpha + \beta), n_t(\alpha, \beta) = n_{t0}(\alpha + \beta), (\alpha, \beta) \in \Lambda_t, \alpha v_a + \beta v_i = 0, \alpha + \beta \geq 0; n_a(\alpha, \beta) = n_a^0(\alpha v_a + \beta v_i), n_t(\alpha, \beta) = n_t^0(\alpha v_a + \beta v_i), (\alpha, \beta) \in \Lambda_z, \alpha + \beta = 0, \alpha v_a + \beta v_i \geq 0$. Проведем построение искомого решения для случая $v_i > v_a$. Для нахождения искомого решения в угле Λ построим непрерывно дифференцируемое решение системы (18) в бесконечном прямоугольнике $\Pi_\infty = \mathbb{R} \times \mathbb{R} \supseteq \Lambda$, которое на лучах Λ_t и Λ_z совпадает с указанными выше значениями. Тогда сужение построенного решения в прямоугольнике Π_∞ на угле Λ даст решение смешанной задачи. Решение системы (18) в Π_∞ , согласно теореме 1, определяется двумя дважды непрерывно дифференцируемыми в \mathbb{R} функциями $A(\alpha), B(\beta)$ и вычисляется по этим функциям посредством формул (19). Покажем, что функции $A(\alpha), B(\beta)$ однозначно определяются значениями искомого решения на лучах Λ_t и Λ_z . Имеем следующее:

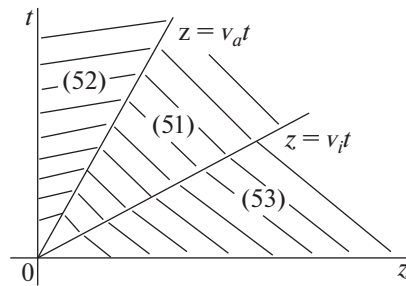
$$\begin{aligned}
 \Lambda_t : \quad & n_{a0} \left(\alpha \frac{v_i - v_a}{v_i} \right) = n_a(\alpha, \beta) \stackrel{(19)}{=} \frac{B'(\beta)}{k_I(A(\alpha) - B(\beta))} = \frac{B'(-\alpha v_a/v_i)}{k_I(A(\alpha) - B(-\alpha v_a/v_i))}, \quad \alpha \geq 0, \\
 (\beta = -\alpha v_a/v_i) \quad & n_{t0} \left(\alpha \frac{v_i - v_a}{v_i} \right) = n_t(\alpha, \beta) \stackrel{(19)}{=} \frac{A'(\alpha)}{k_I(A(\alpha) - B(\beta))} = \frac{A'(\alpha)}{k_I(A(\alpha) - B(-\alpha v_a/v_i))}, \quad \alpha \geq 0, \\
 \Lambda_z : \quad & n_{a0}(\beta(v_i - v_a)) = n_a(\alpha, \beta) \stackrel{(19)}{=} \frac{B'(\beta)}{k_I(A(\alpha) - B(\beta))} = \frac{B'(\beta)}{k_I(A(-\beta) - B(\beta))}, \quad \beta \geq 0, \\
 (\beta = -\alpha) \quad & n_{t0}(\beta(v_i - v_a)) = n_t(\alpha, \beta) \stackrel{(19)}{=} \frac{A'(\alpha)}{k_I(A(\alpha) - B(\beta))} = \frac{A'(-\beta)}{k_I(A(-\beta) - B(\beta))}, \quad \beta \geq 0.
 \end{aligned} \tag{33}$$

Введем в рассмотрение функции $B_0(\alpha) \stackrel{\text{def}}{=} B(-\alpha v_a/v_i), A_0(\beta) \stackrel{\text{def}}{=} A(-\beta), \alpha \geq 0, \beta \geq 0$. Тогда на полупрямой $\alpha \geq 0$ функции $B_0(\alpha), A(\alpha)$, согласно (33), удовлетворяют линейной системе ОДУ с переменными коэффициентами:

$$\begin{aligned}
 B'_0 &= -\bar{n}_{a0}(\alpha)(A - B_0), \quad A' = \bar{n}_{t0}(\alpha)(A - B_0), \quad \alpha \geq 0, \\
 \bar{n}_{a0}(\alpha) &\stackrel{\text{def}}{=} k_I \frac{v_a}{v_i} n_{a0} \left(\alpha \frac{v_i - v_a}{v_i} \right), \quad \bar{n}_{t0}(\alpha) \stackrel{\text{def}}{=} k_I n_{t0} \left(\alpha \frac{v_i - v_a}{v_i} \right),
 \end{aligned} \tag{34}$$

а на полупрямой $\beta \geq 0$ функции $B(\beta), A_0(\beta)$, согласно (33), удовлетворяют линейной системе ОДУ с переменными коэффициентами:

$$\begin{aligned}
 B' &= \bar{n}_a^0(\beta)(A_0 - B), \quad A'_0 = -\bar{n}_t^0(\beta)(A_0 - B), \quad \beta \geq 0, \\
 \bar{n}_a^0(\beta) &\stackrel{\text{def}}{=} k_I n_a^0(\beta(v_i - v_a)), \quad \bar{n}_t^0(\beta) \stackrel{\text{def}}{=} k_I n_t^0(\beta(v_i - v_a)).
 \end{aligned} \tag{35}$$



Фиг. 3. Области, где ищется решение смешанной задачи.

Решая системы (34), (35), находим функции $B_0(\alpha)$, $A(\alpha)$, $\alpha \geq 0$ и $B(\beta)$, $A_0(\beta)$, $\beta \geq 0$, после чего доопределяем A и B в областях отрицательных значений аргументов равенствами:

$$B(\beta) \stackrel{\text{def}}{=} B_0(-\beta v_i/v_a), \quad \beta \geq 0, \quad A(\alpha) = A_0(-\alpha), \quad \alpha \leq 0. \tag{36}$$

Полученные функции A и B на прямой являются искомыми, если выбрать решения систем (34) и (35) с одинаковыми начальными условиями $A(0) = C$, $B_0(0) = D$ и $A_0(0) = C$, $B(0) = D$, где $C \neq D$. Тогда функции $A(\alpha)$, $B(\beta)$ будут непрерывны на \mathbb{R} , а из (36) и условий согласованности в нуле следует их двукратная непрерывная дифференцируемость в нуле и, значит, на всей прямой \mathbb{R} .

Чтобы проверить условия 1) и 2) и преобразовать к удобному для анализа виду формулы (19), воспользуемся явными выражениями решений задач Коши для систем (35), (34), которые дают для $A(\alpha)$, $B(\beta)$ выражения:

$$A(\alpha) = \begin{cases} C + (D - C) \int_0^{-\alpha} \bar{n}_i^0 e^{-N} d\alpha, & \alpha \leq 0, \\ C + (C - D) \int_0^{\alpha} \bar{n}_{i0} e^M d\alpha, & \alpha \geq 0, \end{cases} \quad B(\beta) = \begin{cases} D + (D - C) \int_0^{-\beta v_i/v_a} \bar{n}_{a0} e^M d\beta, & \beta \leq 0, \\ D + (C - D) \int_0^{\beta} \bar{n}_a^0 e^{-N} d\beta, & \beta \geq 0, \end{cases} \tag{37}$$

$$N(\beta) = \int_0^{\beta} (\bar{n}_a^0 + \bar{n}_a^0) d\beta, \quad M(\alpha) = \int_0^{\alpha} (\bar{n}_{a0} + \bar{n}_{i0}) d\alpha.$$

Наконец, преобразуем формулы (19), задающие решение системы (18) в прямоугольнике $\Pi_* \supseteq \Lambda$, в каждом из 4 квадрантов плоскости (α, β) . При этом ограничимся только квадрантами I, II, IV, квадрант III, где $\alpha \leq 0$, $\beta \leq 0$, исключим из рассмотрения, поскольку тупой угол Λ , согласно фиг. 3, лежит в объединении квадрантов I, II, IV, а с квадрантом III пересекается только по нулевой точке. Для удобства введем в рассмотрение функции

$$N_*(p) \stackrel{\text{def}}{=} \frac{k_I}{v_i - v_a} \int_0^p (n_a^0(q) + n_i^0(q)) dq, \quad M_*(p) \stackrel{\text{def}}{=} \frac{k_I}{v_i - v_a} \int_0^p (v_a n_{a0}(q) + v_i n_{i0}(q)) dq. \tag{38}$$

Тогда $N(\beta) = N_*(\beta(v_i - v_a))$, $M(\alpha) = M_*(\alpha(v_i - v_a)/v_i)$ для любых $\alpha, \beta \in \mathbb{R}$.

Для $\alpha \geq 0$, $\beta \geq 0$ имеем

$$n_a(\alpha, \beta) \stackrel{(19)}{=} \frac{B'(\beta)}{k_I[A(\alpha) - B(\beta)]} \stackrel{(37)}{=} \frac{n_a^0(\beta(v_i - v_a)) \exp(-N_*(\beta(v_i - v_a)))}{R_1(\alpha, \beta)},$$

$$R_1(\alpha, \beta) = 1 + \frac{k_I}{v_i - v_a} \left\{ \int_0^{\alpha(v_i - v_a)/v_i} v_i n_{i0}(p) \exp M_*(p) dp - \int_0^{\beta(v_i - v_a)} n_a^0(p) \exp(-N_*(p)) dp \right\}.$$

Аналогично

$$n_i(\alpha, \beta) \stackrel{(19)}{=} \frac{A'(\beta)}{k_I[A(\alpha) - B(\beta)]} \stackrel{(37)}{=} \frac{n_{i0}(\alpha(v_i - v_a)/v_i) \exp M_*(\alpha(v_i - v_a)/v_i)}{R_1(\alpha, \beta)}.$$

Для двух других квадрантов аналогичные подсчеты с использованием формул (19), (37) дают:

$$\begin{aligned} \alpha \geq 0, \beta \leq 0: \quad & n_a(\alpha, \beta) = [n_{i0}(-\beta(v_i - v_a)/v_i) \exp M_*(-\beta(v_i - v_a)/v_a)] R_2^{-1}(\alpha, \beta), \\ & n_i(\alpha, \beta) = [n_{i0}(\alpha(v_i - v_a)/v_i) \exp M_*(\alpha(v_i - v_a)/v_i)] R_2^{-1}(\alpha, \beta), \\ R_2(\alpha, \beta) = 1 + \frac{k_I}{v_i - v_a} & \left\{ \int_0^{\alpha(v_i - v_a)/v_i} v_i n_{i0}(p) e^{M_*(p)} dp + \int_0^{-\beta(v_i - v_a)/v_a} v_a n_{a0}(p) e^{M_*(p)} dp \right\}, \\ \alpha \leq 0, \beta \geq 0: \quad & n_a(\alpha, \beta) = [n_a^0(\beta(v_i - v_a)) \exp[-N_*(\beta(v_i - v_a))]] R_3^{-1}(\alpha, \beta), \\ & n_i(\alpha, \beta) = [n_i^0(-\alpha(v_i - v_a)) \exp[-N_*(-\alpha(v_i - v_a))]] R_3^{-1}(\alpha, \beta), \\ R_3(\alpha, \beta) = 1 - \frac{k_I}{v_i - v_a} & \left\{ \int_0^{-\alpha(v_i - v_a)} n_i^0(p) e^{-N_*(p)} dp + \int_0^{\beta(v_i - v_a)} n_a^0(p) e^{-N_*(p)} dp \right\}. \end{aligned}$$

Осталось перейти в полученных формулах от координат (α, β) к координатам (z, t) , учитывая преобразование (17). При этом $\beta(v_i - v_a) = z - v_a t$, $-\alpha(v_i - v_a) = z - v_i t$, $\alpha(v_i - v_a)/v_i = t - z/v_i$, $-\beta(v_i - v_a)/v_a = t - z/v_a$. В итоге первый квадрант плоскости (z, t) , где ищется решение смешанной задачи для системы (16), прямыми $z = v_a t$, $z = v_i t$ делится на три области, изображенные на фиг. 3, в каждой из которых решение задается одной из формул

$$\begin{aligned} n_a(z, t) &= [n_a^0(z - v_a t) \exp[-N_*(z - v_a t)]] R_1^{-1}(z, t), \\ n_i(z, t) &= [n_{i0}(t - z/v_i) \exp[M_*(t - z/v_i)]] R_1^{-1}(z, t), \\ R_1(z, t) &= 1 + \frac{k_I}{v_i - v_a} \left\{ \int_0^{t - z/v_i} v_i n_{i0}(p) \exp M_*(p) dp - \int_0^{z - v_a t} n_a^0(p) \exp(-N_*(p)) dp \right\}; \end{aligned} \tag{39}$$

$$\begin{aligned} n_a(z, t) &= [n_{a0}(t - z/v_a) \exp[M_*(t - z/v_a)]] R_2^{-1}(z, t), \\ n_i(z, t) &= [n_{i0}(t - z/v_i) \exp[M_*(t - z/v_i)]] R_2^{-1}(z, t), \\ R_2(z, t) &= 1 + \frac{k_I}{v_i - v_a} \left\{ \int_0^{t - z/v_i} v_i n_{i0}(p) \exp M_*(p) dp + \int_0^{t - z/v_a} v_a n_{a0}(p) \exp M_*(p) dp \right\}; \end{aligned} \tag{40}$$

$$\begin{aligned} n_a(z, t) &= [n_a^0(z - v_a t) \exp[-N_*(z - v_a t)]] R_3^{-1}(z, t), \\ n_i(z, t) &= [n_i^0(z - v_i t) \exp[-N_*(z - v_i t)]] R_3^{-1}(z, t), \\ R_3(z, t) &= 1 - \frac{k_I}{v_i - v_a} \left\{ \int_0^{z - v_i t} n_i^0(p) \exp[-N_*(p)] dp + \int_0^{z - v_a t} n_a^0(p) \exp[-N_*(p)] dp \right\}. \end{aligned} \tag{41}$$

Формулы (39) и (40) на луче $z = v_a t$, $t \geq 0$ и формулы (39) и (41) на луче $z = v_i t$, $t \geq 0$, очевидно, совпадают. При $z = 0$ формула (40) дает краевые условия $n_{a0}(t)$, $n_{i0}(t)$, $t \geq 0$, а при $t = 0$ формула (41) дает начальные условия $n_a^0(z)$, $n_i^0(z)$, $z \geq 0$. Итак, формулы (39)–(41) с учетом выражений (38) полностью определяют решение смешанной задачи для системы (16) по известным граничным $n_{a0}(t)$, $n_{i0}(t)$, $t \geq 0$, и начальным $n_a^0(z)$, $n_i^0(z)$, $z \geq 0$ условиям.

4. ИОНИЗАЦИОННЫЕ КОЛЕБАНИЯ (БРИВИНГ-МОДЫ)

В разд. 2 было установлено, что для знакоопределенных на отрезке $[0, L]$ скоростей $v_a(z)$, $v_i(z)$ система уравнений ионизации (1) имеет единственное стационарное решение, удовлетворяющее заданным (стационарным) граничным условиям. При этом граничные условия для n_a , n_i в

зависимости от знака соответствующей скорости ставятся либо на левом конце $z = 0$, либо на правом $z = L$. Например, если $v_i(z) > 0$ на $[0, L]$, то на левом конце $z = 0$ считается заданной величина $n_i(0, t)$ в каждый момент времени $t \geq 0$, а если $v_i(z) < 0$, то считается заданной величина $n_i(L, t)$, $t \geq 0$, и аналогично для n_a . Численно было установлено также, что в случае знакоопределенных скоростей v_a, v_i при $t \rightarrow +\infty$ решение начально-краевой задачи для системы (1) со стационарными краевыми условиями устанавливается, т.е. при $t \rightarrow +\infty$ сходится в равномерной метрике на $[0, L]$ к единственному стационарному решению системы (1). В частности, в этом случае ионизационные колебания (бривинг-моды) отсутствуют.

При исследовании процесса ионизации в СПД обычно считается $v_a(z) \equiv v_a = \text{const} > 0$. Таким образом, ограничиваясь этим практически важным случаем, можно утверждать, что необходимым (но, вероятно, не достаточным) условием существования ионизационных колебаний является знакопеременность скорости $v_i(z)$ на отрезке $[0, L]$. Этот вывод согласуется с экспериментальными данными по СПД, согласно которым [13] ионная скорость v_i всегда отрицательна по направлению z в прианодной области и, следовательно, применительно к одномерному случаю $v_i(z)$ имеет единственный нуль z_0 на $[0, L]$, причем $0 < z_0 < L$, $v_i'(z_0) > 0$ и, значит, $v_i(z)$ меняет знак с минуса на плюс, когда z , возрастая, проходит через точку z_0 . Типичными модельными примерами в одномерной задаче являются функции $v_i(z) = \alpha(z - z_0)$, $\alpha > 0$, $0 < z_0 < L$, $v_i(z) = a(z + z_1)(z - z_0)$, $a > 0$, $z_1 > 0$, $0 < z_0 < L$, $v_i(z) = -\cos(\pi z/L)$ (и тогда $z_0 = L/2$).

Рассмотрим причину возникновения бривинг-мод в случае, когда ионная скорость $v_i(z)$ имеет указанный выше специальный вид. В этом случае граничные условия ставятся только для n_a на левой границе $z = 0$, для n_i они формально не нужны, поскольку $v_i(0) < 0 < v_i(L)$ и, значит, ионы через границы $z = 0$ и $z = L$ покидают область $[0, L]$. Однако при этом возникает “внутреннее” граничное условие для n_i на характеристике $z = z_0$ для уравнения переноса ионов (1), которое объясняет возникновение бривинг-мод. Остановимся на этом подробнее. Начально-краевая задача на отрезке $[0, L]$ для системы (1) распадается на две начально-краевые задачи на отрезках $[0, z_0]$ и $[z_0, L]$ соответственно, которые решаются последовательно. При этом краевое условие $n_i(t) \stackrel{\text{def}}{=} n_i(z_0, t)$ для функции n_i на характеристике $z = z_0$, являющейся границей для обеих смешанных задач, ищется из решения задачи Коши для ОДУ

$$dn_i/dt = \beta n_a n_i - \alpha n_i, \quad n_i(0) = n_i^0(z_0), \quad \alpha \stackrel{\text{def}}{=} v_i'(z_0), \quad (42)$$

где $n_i^0(z)$, $0 \leq z \leq L$, – заданное начальное условие для n_i на отрезке $[0, L]$. Уравнение (42) является тривиальным следствием второго уравнения системы (1) в точке z_0 с учетом равенства $v_i(z_0) = 0$. Неизвестная функция $n_a(t) \stackrel{\text{def}}{=} n_a(z_0, t)$, входящая в (42), находится следующим образом. Если фиксировано граничное условие $n_a(t)$, $t \geq 0$, для n_a на левой границе $z = 0$, то функция $n_a(t)$ ищется в банаховом пространстве B непрерывно дифференцируемых и ограниченных вместе с производной функций на полупрямой $t \geq 0$, как неподвижная точка отображения $F : B_0 \rightarrow B_0$, где $B_0 \subseteq B$ – замкнутая гиперплоскость в B коразмерности 1, определяемая условием $B_0 = \{n(t) \in B : n(0) = n_a^0(z_0)\}$, а $n_a^0(z)$, $0 \leq z \leq L$ – заданное начальное условие для n_a . Отображение F определяется следующим образом. Если $n(t) \in B_0$, то, положив $n_a(t) = n(t)$ в (42) и решая задачу Коши (42) на полупрямой $t \geq 0$ относительно n_i , находим функцию $n_i(t)$, $t \geq 0$, которую принимаем за краевое условие для n_i на правом конце $z = z_0$ (вместе с краевым условием $n_a(t)$ для n_a на левом конце $z = 0$) в смешанной задаче на отрезке $[0, z_0]$ для системы (1). Решив эту смешанную задачу, получим, в частности, на правом конце $z = z_0$ функцию $n_a(z_0, t)$, $t \geq 0$, которая, по определению, и является образом $n(t)$ при отображении F . Итак, функция $n_a(t)$ в уравнении (42) – это неподвижная точка определенного выше отображения F . Решение $n_i(t)$ задачи Коши (42) для неподвижной точки $n_a(t)$ является правым краевым условием для n_i в смешанной задаче для системы (1) на отрезке $[0, z_0]$, а вместе с $n_a(t)$ дает левые краевые условия для n_i , n_a в смешанной задаче для системы (1) на отрезке $[z_0, L]$. Отметим, что смешанные задачи на отрезках $[0, z_0]$, $[z_0, L]$ относятся к задачам Гурса [14], а уравнение (42) совпадает с условием разрешимости [14] на характеристике для квазилинейной системы уравнений в частных производных, к которой относится и

система (1). Аналитическое исследование существования и единственности неподвижной точки отображения F выходит за рамки настоящей работы. Численно существование неподвижной точки F одновременно с решением задачи Коши (42) устанавливается расчетом по разностной схеме (15). В частности, если k_0 – номер узла, где $z_{k_0} = z_0$, то разностная схема (15) для n_i в узле k_0 совпадает со схемой Эйлера решения задачи Коши (42) и дает сеточную функцию n_{i,k_0} , удовлетворяющую указанному выше начальному условию, а сеточная функция n_{a,k_0} дает сеточную аппроксимацию неподвижной точки F .

Как показали расчеты, ионизационные колебания (бривинг-моды) имеют место только тогда, когда решение задачи Коши (42) при $t \rightarrow +\infty$ выходит на периодический режим. При этом $n_a(t) = n_a(z_0, t)$ на характеристике $z = z_0$ удовлетворяет уравнению

$$dn_a/dt = -\beta n_a n_i + \gamma(t) n_a, \quad n_a(0) = n_a^0(z_0), \quad (43)$$

где $\gamma(t) = -[(\partial n_a / \partial z)(v_a / n_a)]|_{z=z_0}$ – периодическая для больших t и определяется видом скорости ионов $v_i(z)$. Из этой констатации вытекают важные и неочевидные выводы. Например, если ионная скорость $v_i(z)$ имеет хотя бы один нуль z_0 на интервале $(0, L)$, для которого $v_i'(z_0) \leq 0$, то ионизационные колебания (бривинг-моды) отсутствуют. Действительно, тогда $n_i(z_0, t) = n_i(t)$, вычисляемая по решению задачи Коши (42), будет монотонно возрастающей на полупрямой $t \geq 0$ функцией и, следовательно, при $t \rightarrow +\infty$ не может выйти на периодический режим. Скажем, для $v_i(z) = -\cos[(2N + 1)\pi z / L]$, $N > 0$ – целое бривинг-моды отсутствуют. Хотя приведенный пример, согласно [13], имеет, скорее, теоретическое значение, он указывает на нетривиальность полученного результата.

Функция $\gamma(t)$ находится численно, решением разностных уравнений (15): на нулевом слое $\gamma^0 = -(n_{a,k_0}^0 - n_{a,k_0-1}^0) / h \cdot v_a / n_{a,k_0}^0$, где $z_0 = z_{k_0}$.

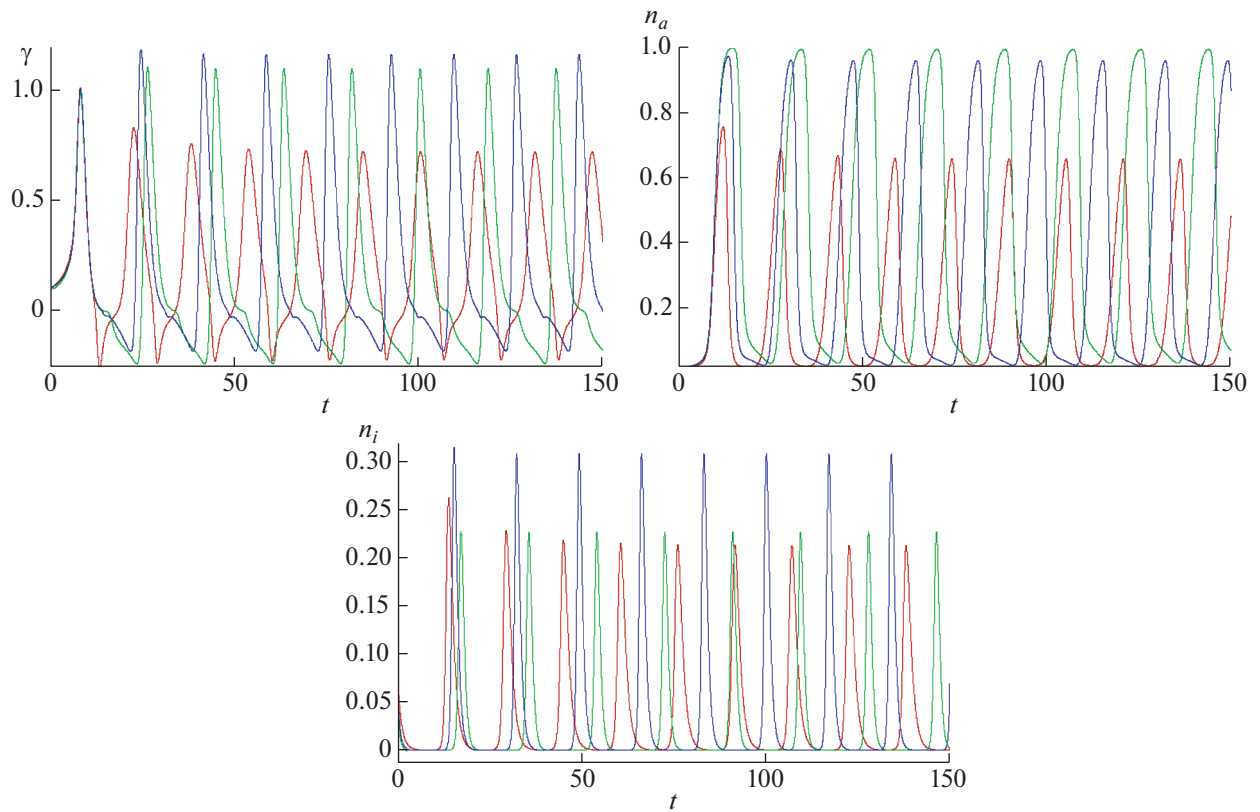
Расчеты значений n_i , n_a на характеристике $z = z_0$ и функции $\gamma(t)$ для трех типов скоростей ионов $v_i(z) = \alpha(z - z_0)$, $\alpha > 0$, $v_i = a(z + z_1)(z - z_0)$, $a > 0$, $v_i(z) = -\cos(\pi z / L)$ приведены на фиг. 4.

Если бы функция $\gamma(t)$ была положительной константой, то из (42), (43) вытекало бы, что на характеристике $z = z_0$ функции $n_i(t)$, $n_a(t)$ удовлетворяют уравнениям Лотки–Вольтерра, что, как показывают примеры, не имеет места. Поэтому существование бривинг-мод не удастся связать с моделью Лотки–Вольтерра.

5. ИОНИЗАЦИОННЫЕ КОЛЕБАНИЯ В ОБЩЕМ СЛУЧАЕ

Недостаток ионизационной модели (1) в том, что скорости $v_a(z)$, $v_i(z)$ считаются известными и не зависящими от времени t . Применительно к СПД обычно считается $v_a(z) \equiv v_a = \text{const} > 0$, а v_i находится из уравнения движения ионов. Движение ионов определяется электромагнитным полем в камере СПД и их столкновениями с боковыми керамическими стенками камеры и поверхностью анода. Наличие в установке сильного почти радиального магнитного поля и продольного электрического поля и, как следствие, справедливость соотношения $r_{\Lambda i} \gg L$ ($r_{\Lambda i}$ – ларморовский радиус ионов) предопределяют движение ионов преимущественно в продольном направлении, параллельно поверхностям боковых стенок. Поэтому столкновениями ионов и атомов Хе со стенками в первом приближении можно пренебречь. Электромагнитное поле в СПД складывается из индукционного и внешнего электромагнитного поля, порождаемого постоянными токами обмоток СПД и заданной разностью потенциалов между анодом и катодом. Пренебрегая индукционными полями, порождаемыми плазменными токами, в частности, столкновениями ионов с электронами, приходим к следующей упрощенной кинетической модели движения ионов и атомов:

$$\begin{aligned} \partial f_i / \partial t + \langle \mathbf{v}, \nabla_{\mathbf{x}} f_i \rangle + \langle \mathbf{F}, \nabla_{\mathbf{v}} f_i \rangle &= \beta n_i f_a, & \mathbf{F}(t, \mathbf{x}, \mathbf{v}) &= em_i^{-1} (\mathbf{E} + c^{-1} [\mathbf{v}, \mathbf{H}]), \\ \partial f_a / \partial t + \langle \mathbf{v}, \nabla_{\mathbf{x}} f_a \rangle &= -\beta n_i f_a, & n_i &= \int_{\mathbb{R}^3} f_i d\mathbf{v}, & \beta &= \text{const} > 0, \end{aligned} \quad (44)$$



Фиг. 4. Значения n_i, n_a на характеристике $z = 1$ и функции $\gamma(t)$ для трех типов скоростей ионов $v_i(z) = z - 1$ (красная линия), $v_i(z) = (z + 0.5)(z - 1)$ (зеленая линия), $v_i(z) = -\cos(\pi z/2)$ (синяя линия).

где $\mathbf{E} = \mathbf{E}(\mathbf{x})$, $\mathbf{H} = \mathbf{H}(\mathbf{x})$ – известные стационарные электрическое и магнитное поля в СПД, e – заряд электрона, m_i – масса иона Хе, $f_i = f_i(t, \mathbf{x}, \mathbf{v})$, $f_a = f_a(t, \mathbf{x}, \mathbf{v})$ – функции распределения ионов и атомов Хе по скоростям. Равенства (44) образуют систему интегродифференциальных уравнений относительно двух функций f_i, f_a и описывают процессы ионизации и ускорения ионов в СПД. После ее решения ионная скорость вычисляется по формуле:

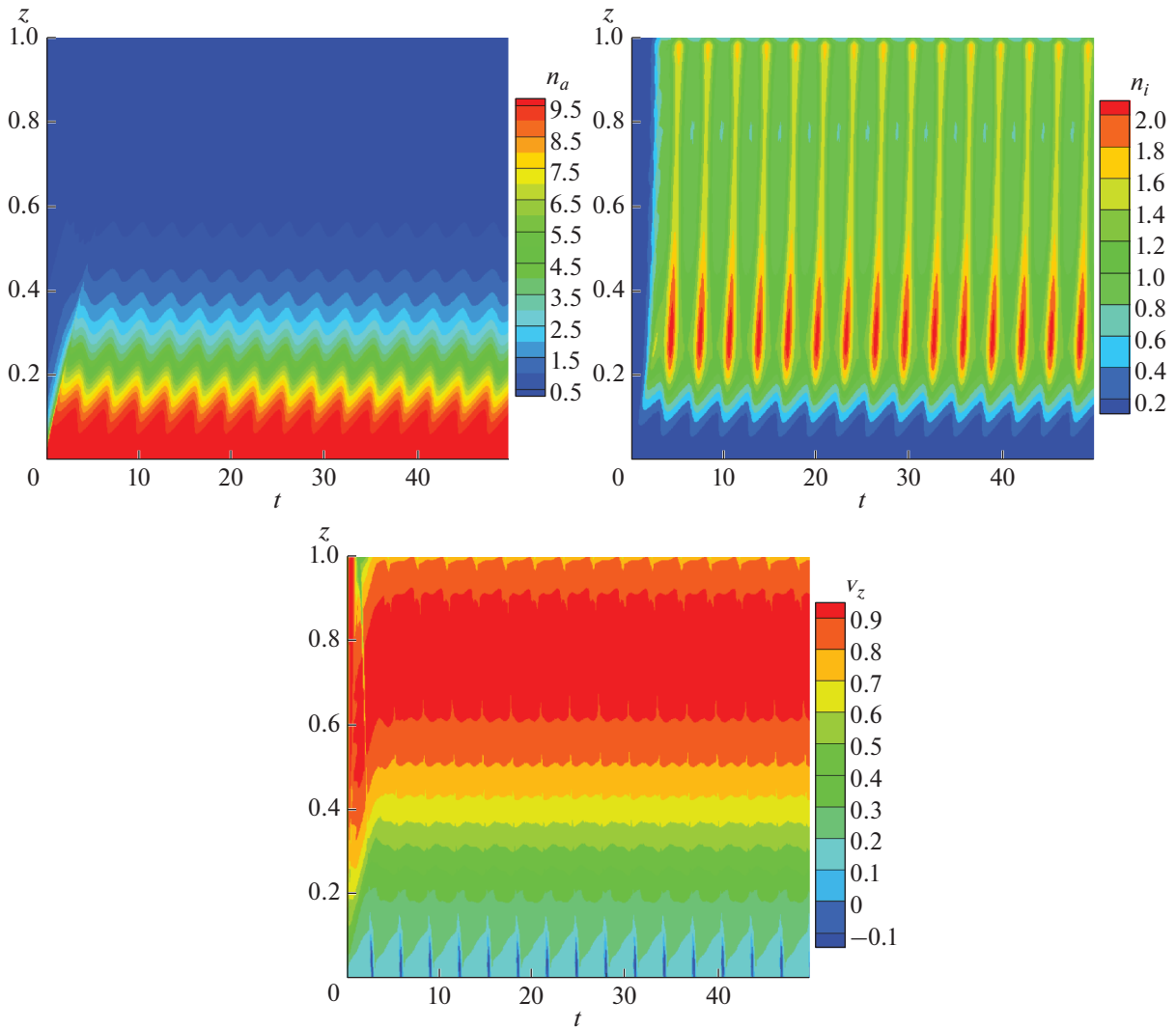
$$\mathbf{v}_i = n_i^{-1} \int_{\mathbb{R}^3} f_i \mathbf{v} d\mathbf{v}. \tag{45}$$

Система (44) в случае плоской симметрии $f_i = \delta(v_x) f_i(t, z, v_y, v_z)$, $f_a = \delta(v_x) \delta(v_z) \delta(v_z - v_a) n_a(t, z) \times f_i(t, z, v_y, v_z)$, где $f_i(t, z, v_y, v_z)$, $n_a(t, z)$ – неизвестные функции, подлежащие нахождению, сводится к виду:

$$\begin{aligned} \frac{\partial f_i}{\partial t} + v_z \frac{\partial f_i}{\partial z} + \frac{e}{m_i} \left[E_y + \frac{H_x v_z}{c} \right] \frac{\partial f_i}{\partial v_y} + \frac{e}{m_i} \left(E_z - \frac{H_x v_y}{c} \right) \frac{\partial f_i}{\partial v_z} &= \beta n_i n_a \delta(v_y) \delta(v_z - v_a), \\ \frac{\partial n_a}{\partial t} + v_a \frac{\partial n_a}{\partial z} &= -\beta n_i n_a, \quad n_i = \int_{\mathbb{R}^2} f_i dv_y dv_z, \end{aligned} \tag{46}$$

где v_a – заданная скорость, с которой атомы Хе поступают в камеру СПД через левую границу со стороны анода. Интегрируя первое уравнение (46) по скоростному пространству $\mathbb{R}^2 = \{(v_y, v_z)\}$, получаем уравнение непрерывности для ионов с \mathbf{v}_i , вычисляемой по формуле (45):

$$\frac{\partial n_i}{\partial t} + \frac{\partial (v_{iz} n_i)}{\partial z} = \beta n_i n_a, \quad n_i = n_i(t, z), \quad v_{iz} = n_i^{-1} \int_{\mathbb{R}^2} f_i v_z dv_y dv_z.$$



Фиг. 5. Графики функций $n_i(z, t)$, $n_a(z, t)$, $v_z(z, t)$ на плоскости (z, t) , демонстрирующие бривинг-моды, для значений параметров $\varepsilon = 1$, $k_I = 0.56$, $E_z = 2$, $H_x = 2$, $n_i^0 = 0.1$, $n_a^0(z) = 10/(1 + 100z)$, $v_a = 0.1$.

В результате приходим к модели ионизации (1), в которой $v_i(t, z)$ зависит от t и определяется движением ионов. Если выпрямить коаксиальную камеру СПД посредством экспоненциального отображения, то ось r перейдет в ось x , ось φ – в ось y и значит в (46) E_y – азимутальное электрическое поле, H_x – радиальное магнитное поле. Из уравнений Максвелла в случае плоской симметрии, $\partial/\partial y = \partial/\partial x = 0$, следует $E_y = \text{const}$, $E_z = \text{const}$, $H_x = \text{const}$. В физически важном случае $E_y = 0$ в безразмерном виде система (46) сводится к следующей:

$$\begin{aligned} \partial f_i / \partial t + v_z \partial f_i / \partial z + \varepsilon H_x v_z \partial f_i / \partial v_y + \varepsilon [E_z - H_x v_y] \partial f_i / \partial v_z &= k_I n_i n_a \delta(v_y) \delta(v_z - v_a), \\ \partial n_a / \partial t + v_a \partial n_a / \partial z &= -k_I n_i n_a, \quad n_i = \int_{\mathbb{R}^2} f_i dv_y dv_z, \end{aligned} \tag{47}$$

где $\varepsilon = t_0 \omega_{ci}$, $\omega_{ci} = eH_0/(cm_i)$, $f_0 = n_0/v_0^2$, $H_0 = 200$ Гс – характерный масштаб напряженности магнитного поля, f_0 – характерный масштаб значений f . Наконец, считается $E_0 = v_0 H_0/c$ (см. формулы (14)). Система (47) решается методом макрочастиц [17] на отрезке $[0, L]$ с граничным условием зеркального отражения для ионов на левой границе $z = 0$. На правой границе $z = L$ уско-

ренные ионы свободно покидают отрезок $[0, L]$. Начальное условие обеспечивает спокойный старт движения макрочастиц и задается в размерном виде максвеллианом

$$f_{i|t=0}(z, v_y, v_z) = \frac{n}{2\pi T/m_i} \exp\left[-\frac{v_y^2 + v_z^2}{2T/m_i}\right],$$

где $n(z)$, $T(z)$ – заданные функции (характерный масштаб температуры $T_0 = 12.1$ эВ – температура ионизации Хе). Подробно численный метод изложен в [18].

На фиг. 5 представлены результаты решения системы (47), демонстрирующие возникновение ионизационных колебаний при $t \rightarrow +\infty$, причем продольная скорость ионов v_z зависит от времени, периодична для больших t и меняет знак в определенные моменты времени. Заметим, что для других входных данных концентрации n_i , n_a , вычисляемые по (47), выходят на установление [18] и, таким образом, бривинг-моды отсутствуют, но при этом разрядный ток испытывает низкочастотные осцилляции вокруг некоторых средних значений. Это означает, что колебания разрядного тока необязательно обусловлены ионизационными колебаниями.

6. ЗАКЛЮЧЕНИЕ

Для изучения ионизационных колебаний (бривинг-мод) в стационарных плазменных двигателях (СПД) выше предложены две математические модели ионизации – гидродинамическая и кинетическая. Уравнения гидродинамической модели проще и поддаются аналитическому исследованию. В частности, выше были классифицированы стационарные решения уравнений гидродинамической модели и дано их полное аналитическое решение в случаях постоянных скоростей атомов и ионов, что, в свою очередь, позволяет аналитически решать различные начально-краевые задачи. Ионизационные колебания на базе гидродинамической модели исследовались численно, и выше был сформулирован критерий (необходимое и достаточное условие) существования бривинг-мод. Недостаток гидродинамической модели в том, что скорость ионов считается заданной и стационарной, а процесс ионизации никак не связан с ускорением ионов. В более сложной кинетической модели скорость ионов определяется из их движения, а процессы ионизации и ускорения ионов исследуются совместно. В кинетической модели, также как и в гидродинамической, существуют бривинг-моды, но картина ионизационных колебаний отличается от гидродинамического случая. Возможности кинетической модели намного шире, чем гидродинамической. В частности, кинетическая модель позволяет найти распределение ионного тока и силу тяги СПД и проанализировать причины паразитических колебаний тока и силы тяги.

СПИСОК ЛИТЕРАТУРЫ

1. Козубский К.Н., Мурашко В.М., Рылов В.П., Трифонов Ю.В., Ходенко В.П., Ким В.П., Попов Г.А., Обухов В.А. СПД работает в космосе // Физика плазмы. 2003. Т. 29. № 3. С. 277–292.
2. Kim V., Kozubsky K.N., Murashko V.M., Semenkin A.V. History of the Hall Thrusters Development in USSR // IERC-2007-142, 30th International Electric Propulsion Conference, Florence, Italy, September 17–20, 2007.
3. Ким В.П., Семенкин А.В., Хартов С.А. Конструктивные и физические особенности двигателей с замкнутым дрейфом электронов. М.: Изд-во МАИ, 2016. 160 с.
4. Mitrofanova O.A., Gnizdor R.Yu., Murashko V.M., Koryakin A.I., Nesterenko A.N. New Generation of SPT-100 // IERC-2011-041, 32nd International Electric Propulsion Conference, Wiesbaden, Germany, September 11–15, 2011.
5. Lotka A.J. Elements of Physical Biology. Baltimore: Williams and Wilkins, 1925. New York: Dover Publications, Inc., 1956.
6. Volterra V. Lessons on the Mathematical Theory of Struggle for Life (Original: Leçons sur la théorie mathématique de la Lutte pour la vie). Paris: Gauthier-Villars, 1931. (Вольтерра В. Математическая теория борьбы за существование: Пер. с франц. 1976. 288 с.)
7. Baranov V.I., Nazarenko Y.S., Petrosov V.A., Vasin A.I., Yashnov Y.M. Theory of Oscillations and Conductivity for Hall Thrusters, 32nd Joint Propulsion Conference, AIAA 96-3192, 1996.
8. Fife J., Martínez-Sánchez M., Szabo J. A numerical study of low-frequency discharge oscillations in Hall thrusters, 33rd Joint Propulsion Conference, AIAA 97-3052, 1997.
9. Barral S., Ahedo E. On the Origin of Low Frequency Oscillations in Hall Thrusters // AIP Conf. Proc. 2008. V. 993. № 439. P. 439–442.
10. Dale E., Jorns B. Two-zone Hall thruster breathing mode mechanism, Part I: Theory, 36th International Electric Propulsion Conference, University of Vienna, Austria, 2019.

11. *Boeuf J., Garrigues L.* Low frequency oscillations in a stationary plasma thruster // J. of Applied Physics. 1998. V. 84. № 7. P. 3541–3554.
12. *Chapurin O., Smolyakov A., Hagelaar G., Raitses Y.* On the mechanism of ionization oscillations in Hall thrusters // J. of Applied Physics. 2021. V. 129. № 23. P. 233307-1–233307-27.
13. *Бишаев А.М., Ким В.* Исследование локальных параметров плазмы в ускорителе с замкнутым дрейфом электронов и протяженной зоной ускорения // Ж. техн. физ. 1978. Т. 48. № 9. С. 1853–1857.
14. *Рождественский Б.Л., Яненко Н.Н.* Системы квазилинейных уравнений и их приложения к газовой динамике. М.: Наука, 1978. 688 с.
15. *Роуч П.* Вычислительная гидродинамика. М.: Мир, 1980.
16. *Гавриков М.Б., Таюрский А.А.* Некоторые математические вопросы ионизации плазмы // Препринты ИПМ им. М.В. Келдыша. 2021. № 94. 48 с.
17. *Березин Ю.А., Вшивков В.А.* Метод частиц в динамике разреженной плазмы. Новосибирск: Наука, 1980. 95 с.
18. *Гавриков М.Б., Таюрский А.А.* Гибридная модель стационарного плазменного двигателя // Препринты ИПМ им. М.В. Келдыша. 2021. № 35. 48 с.